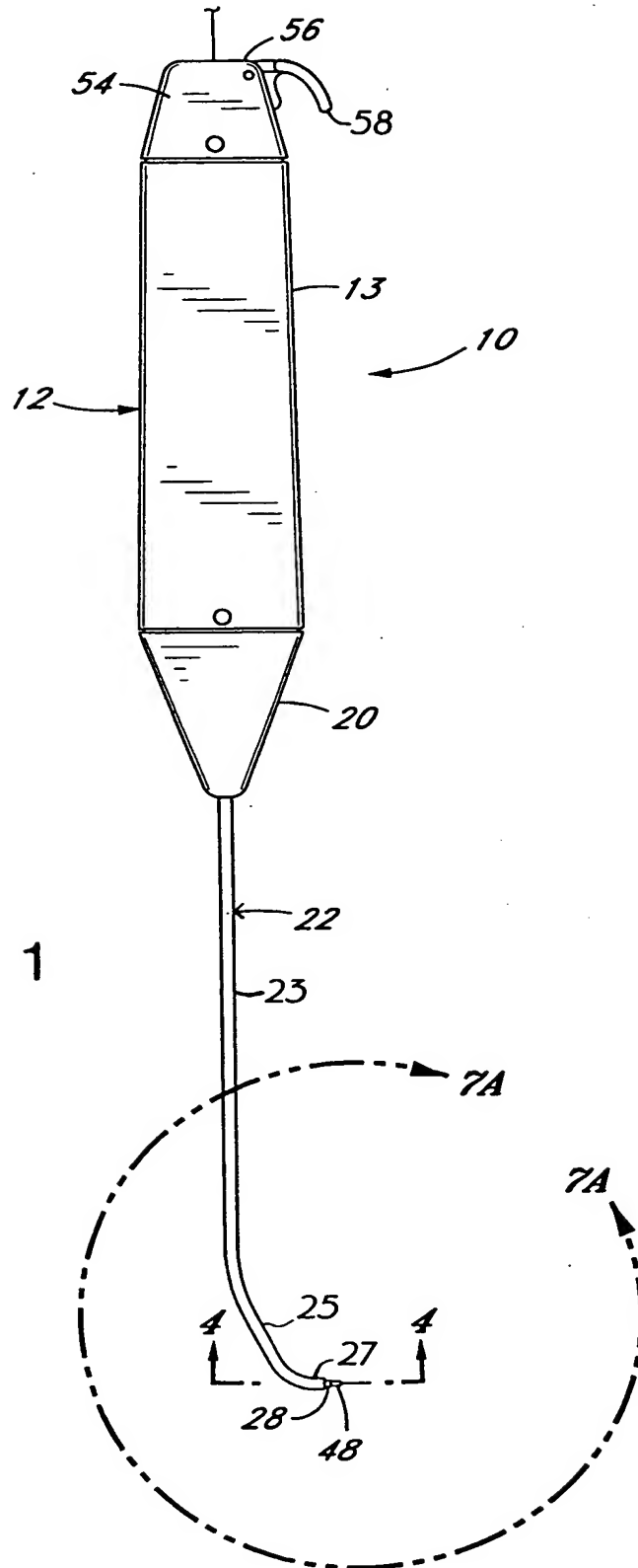
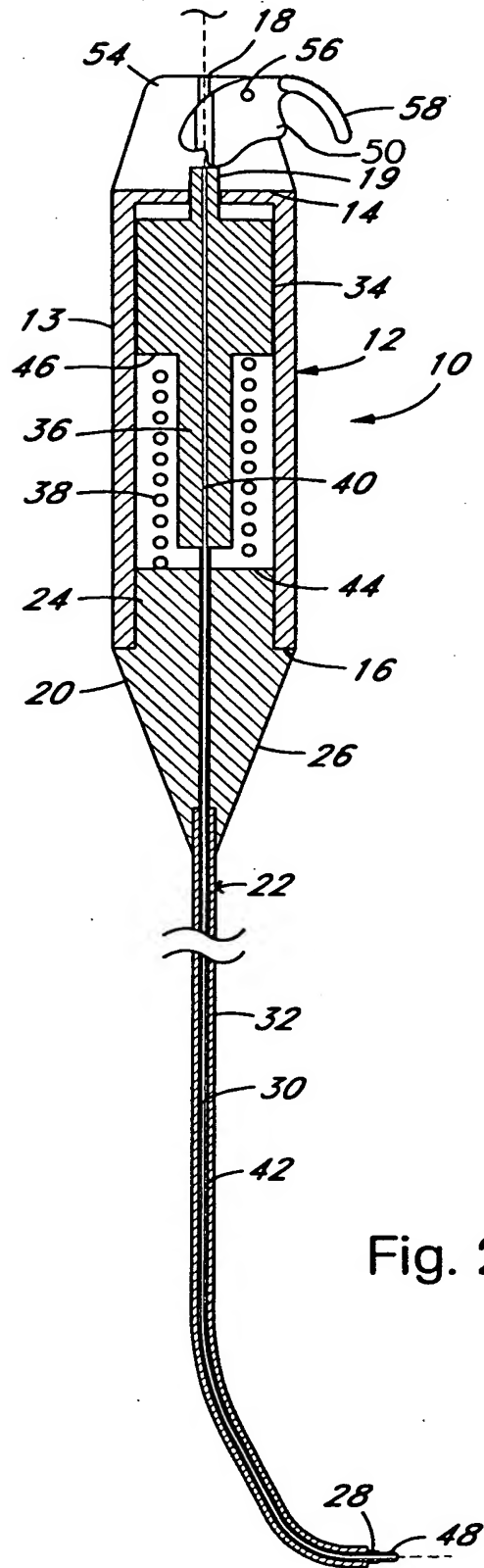


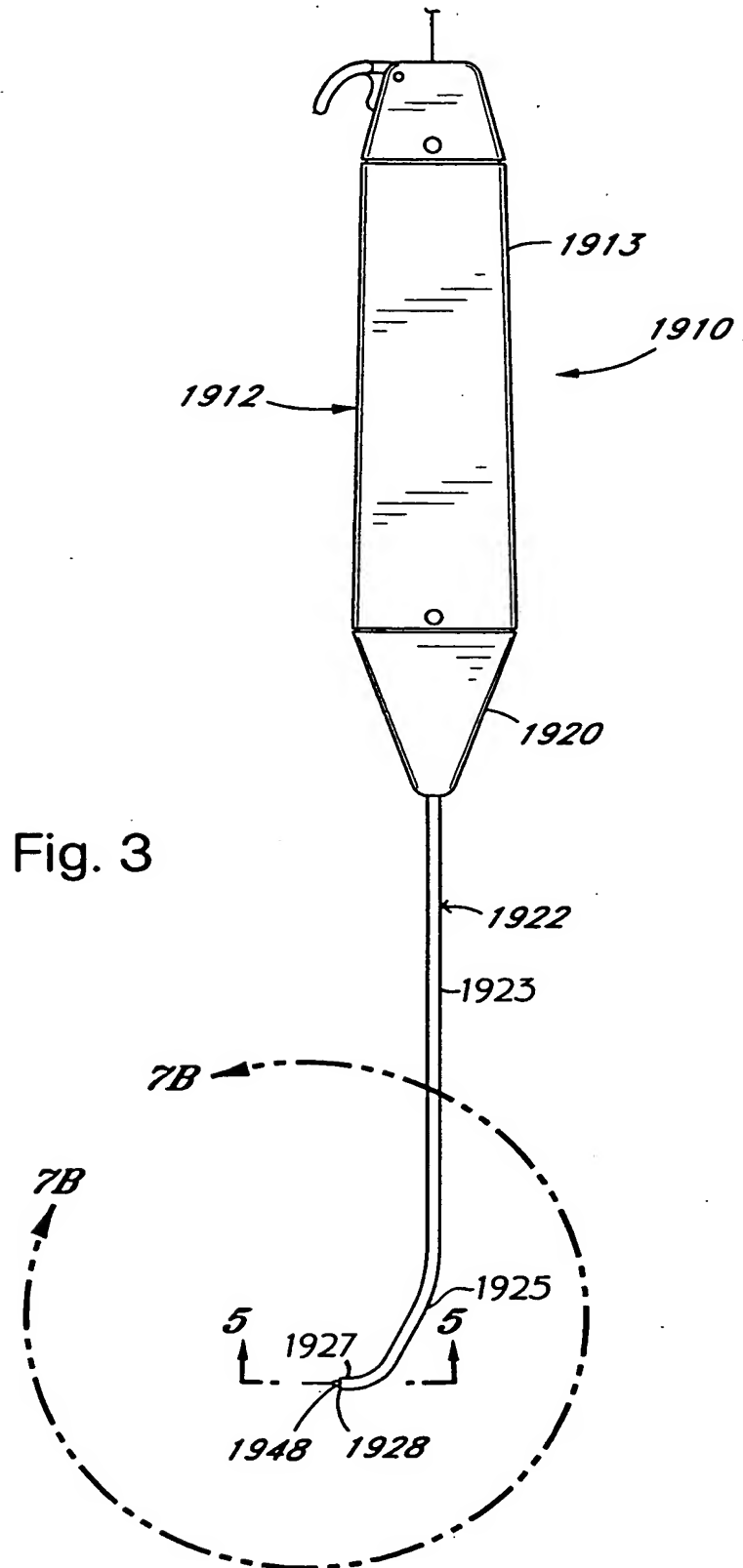
1/76



2/76



3/76



4/76

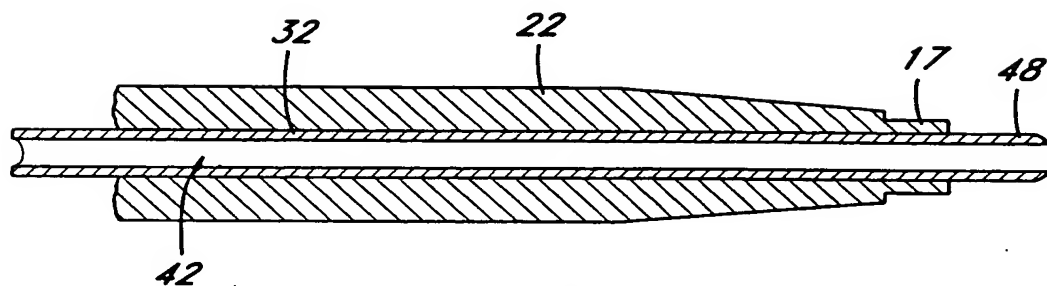


Fig. 4

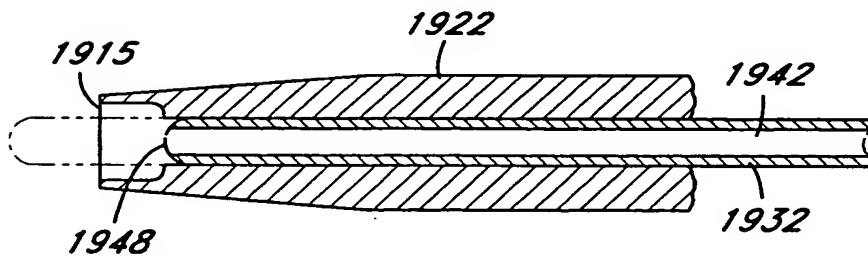


Fig. 5

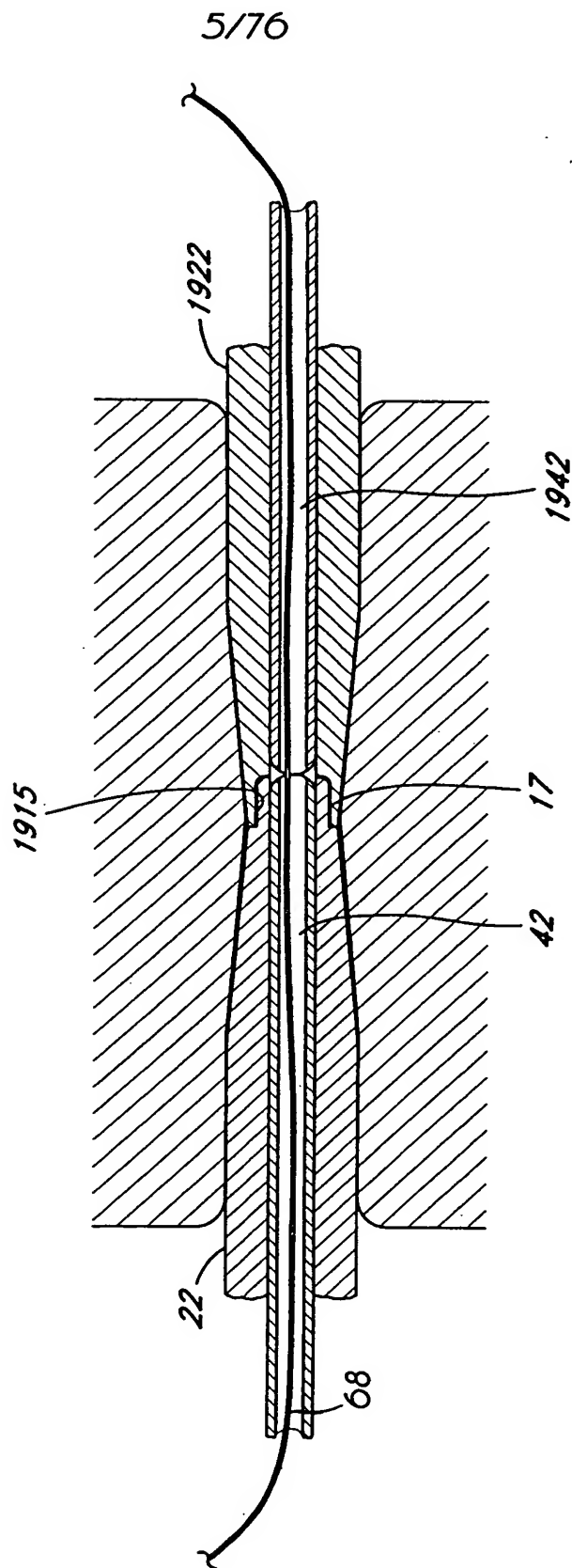


Fig. 6

6/76

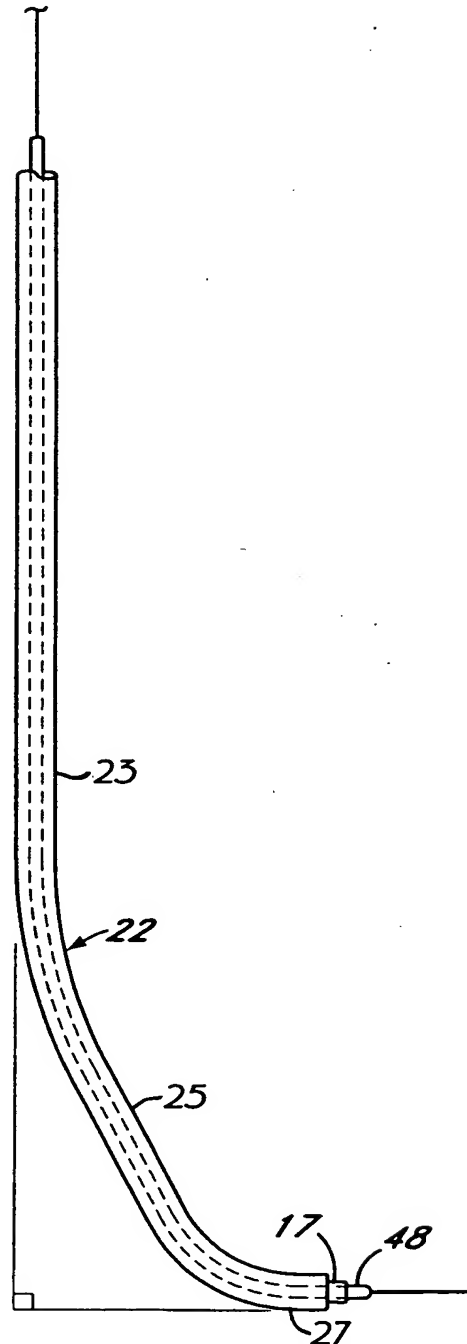


Fig. 7A

7/76

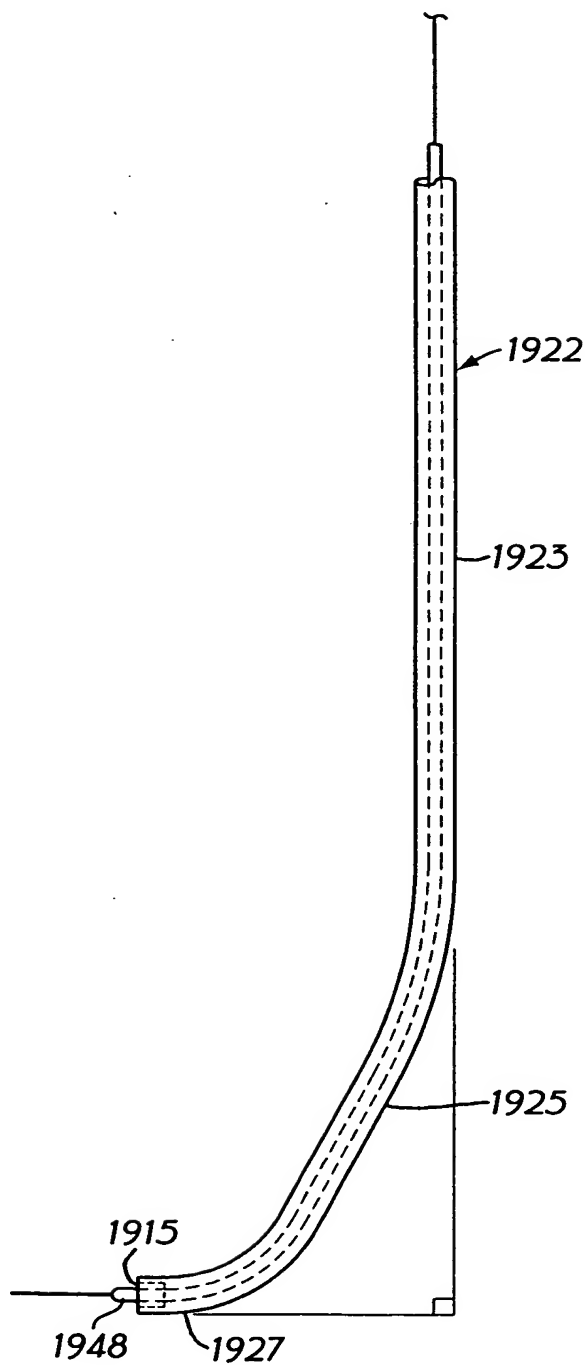


Fig. 7B

8/76

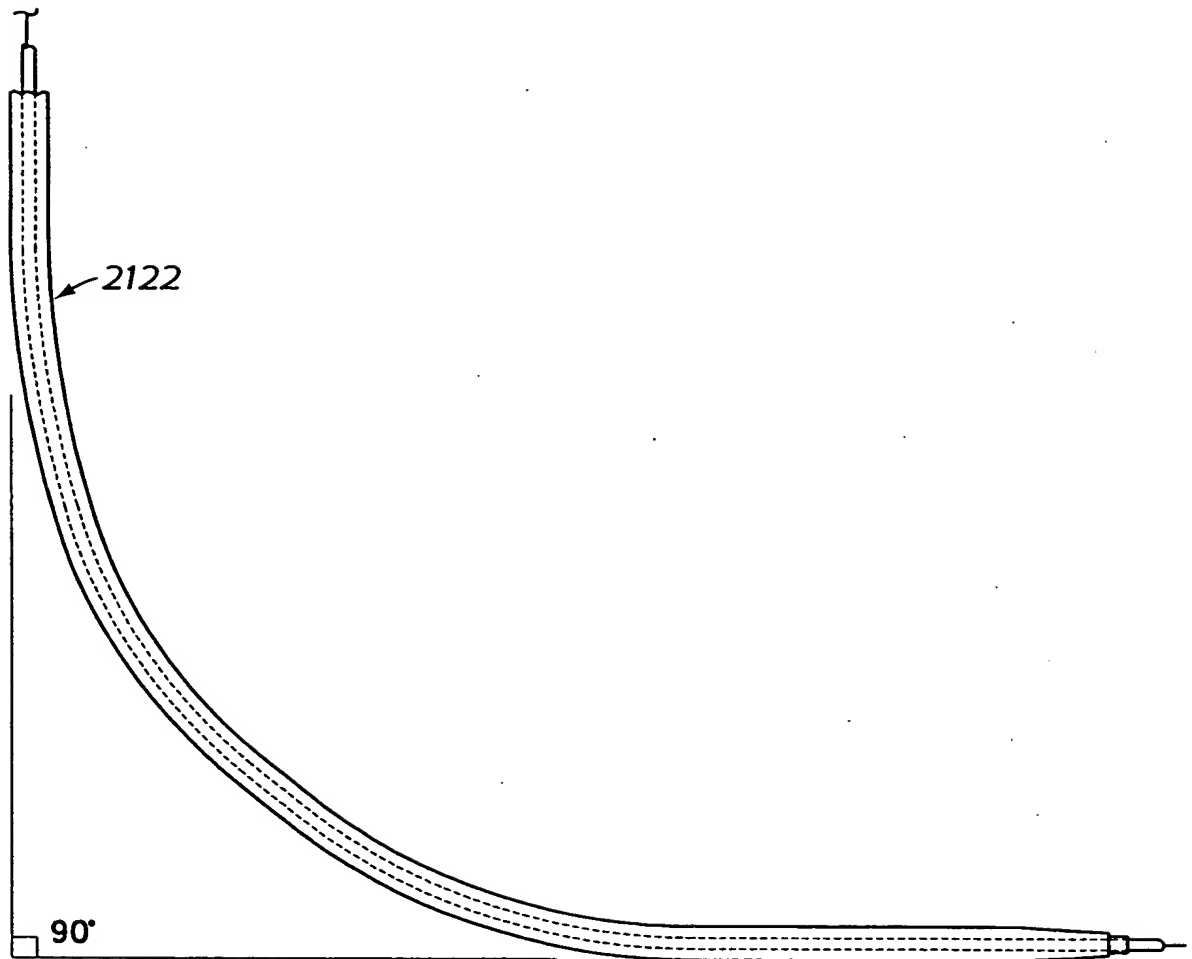


Fig. 7C



9/76

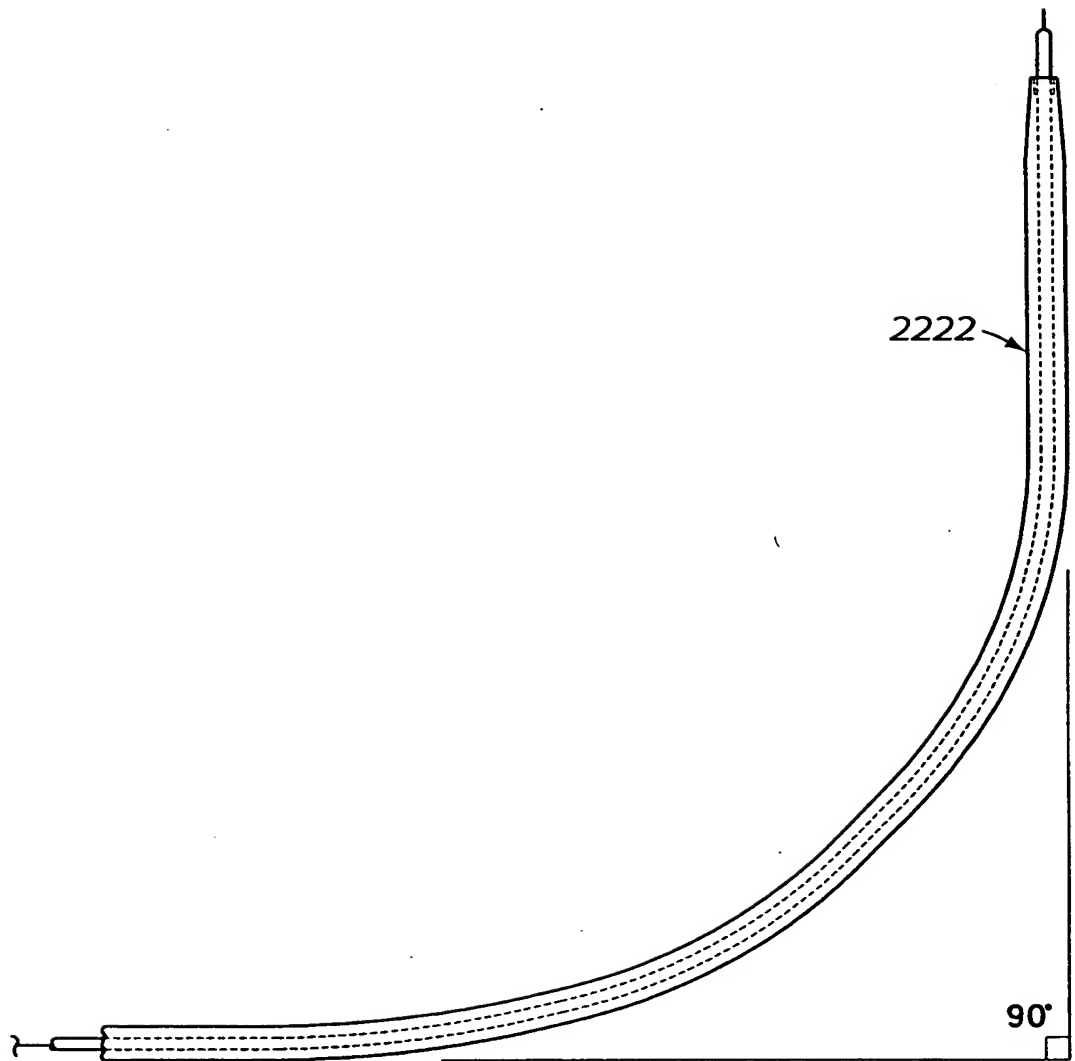


Fig. 7D

10/76

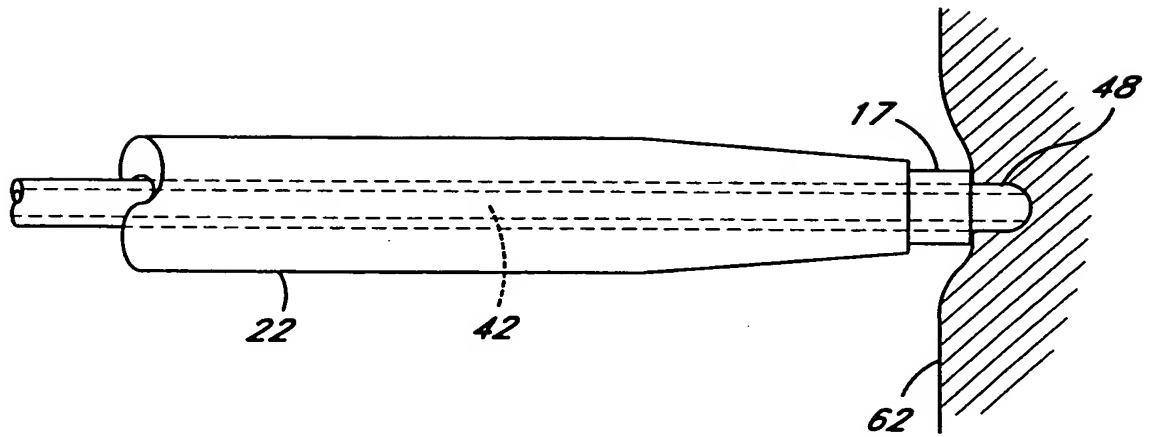


Fig. 8

11/76

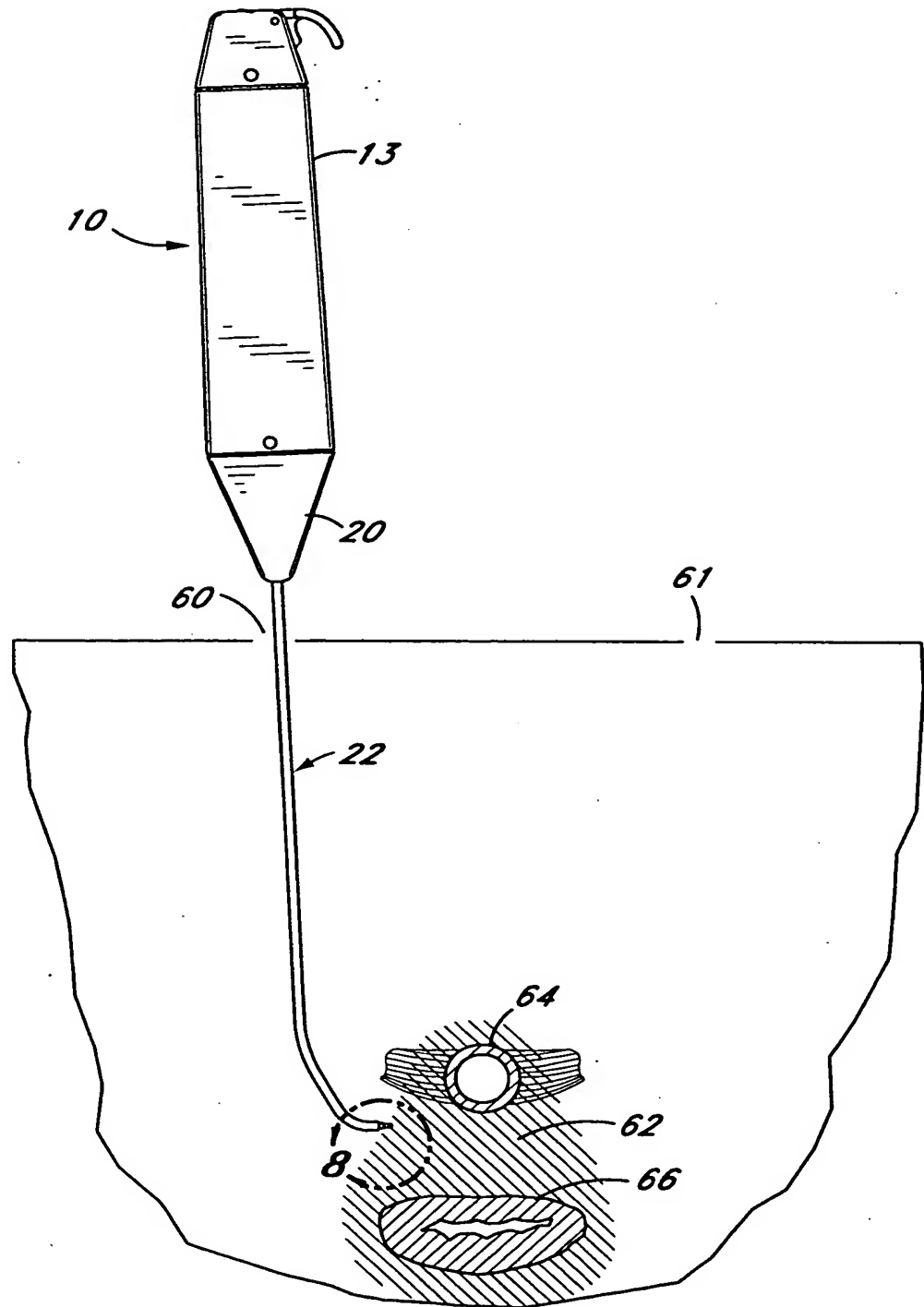


Fig. 9

12/76

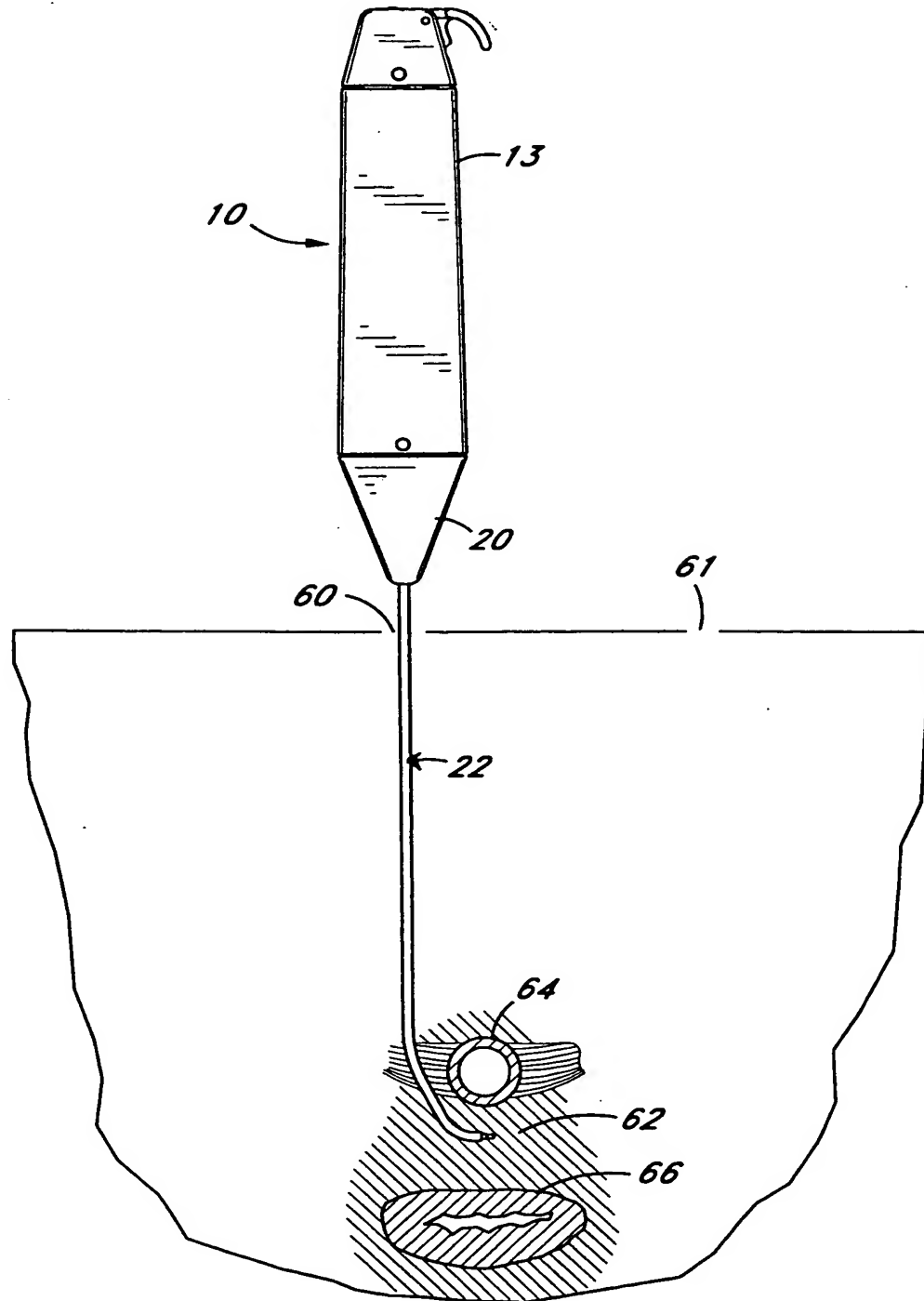


Fig. 10

13/76

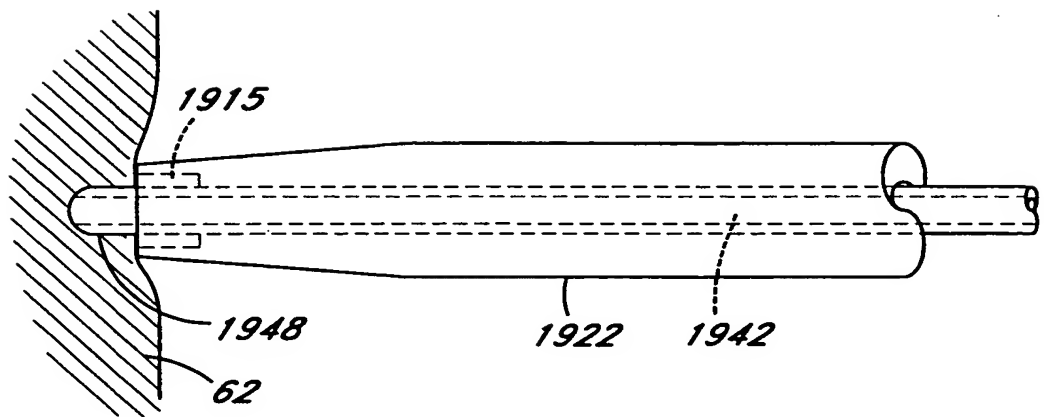


Fig. 11

14/76

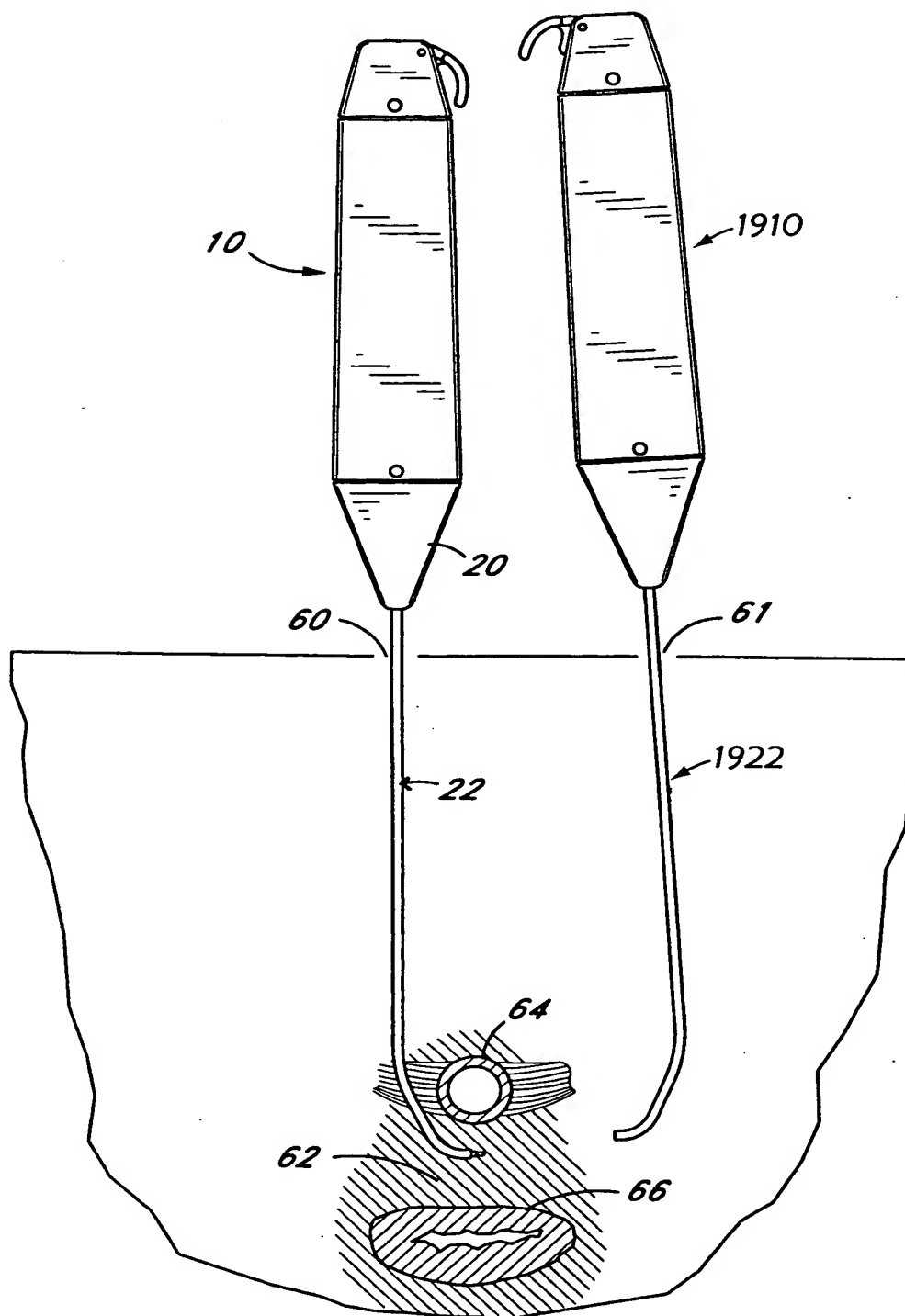
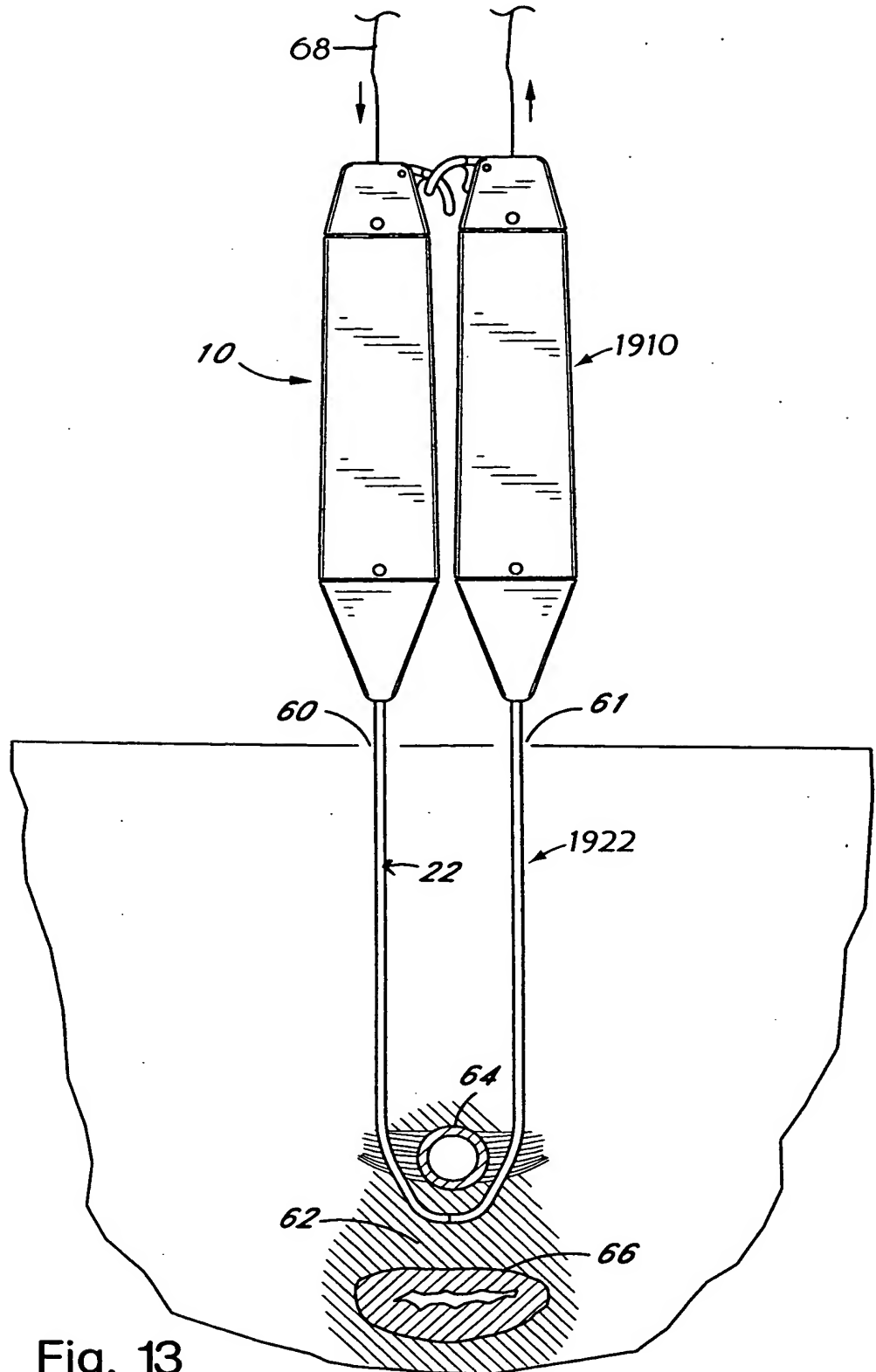


Fig. 12

15/76



16/76

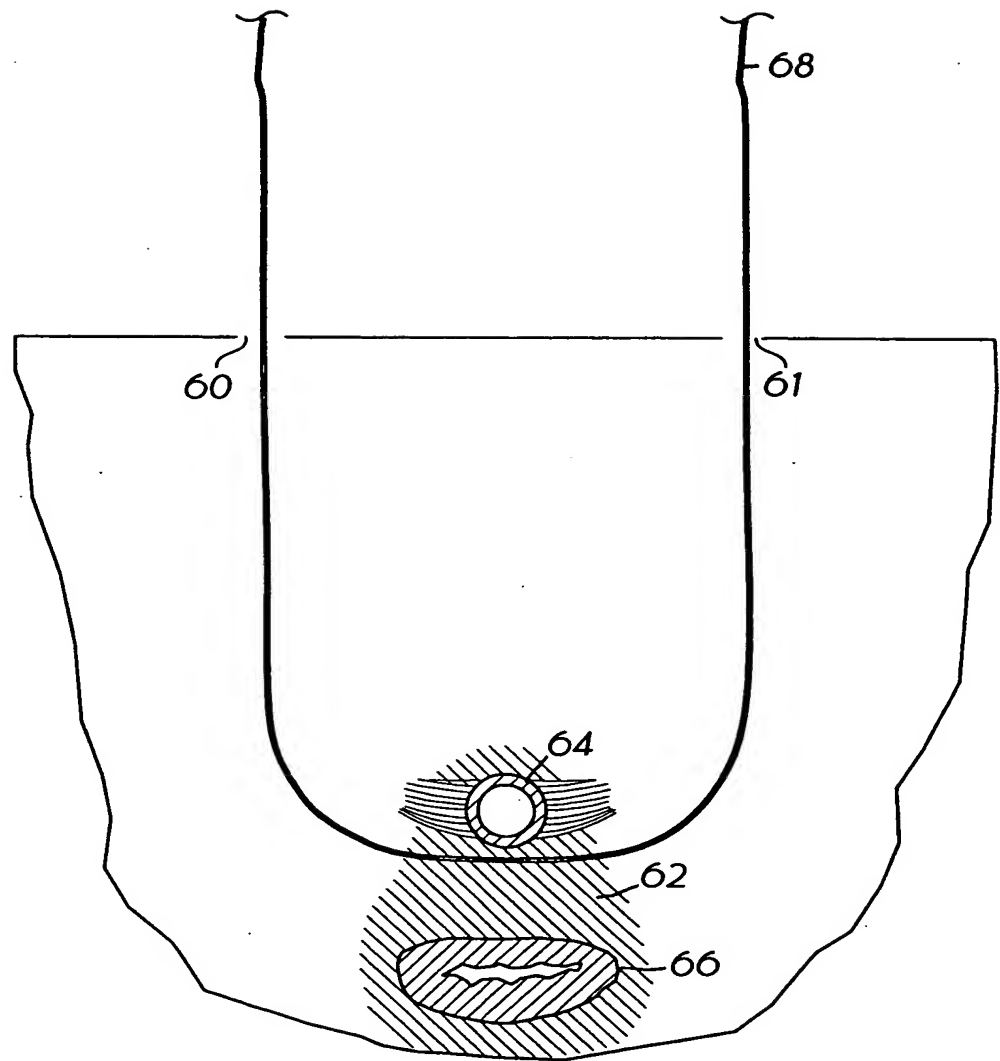


Fig. 14



17/76

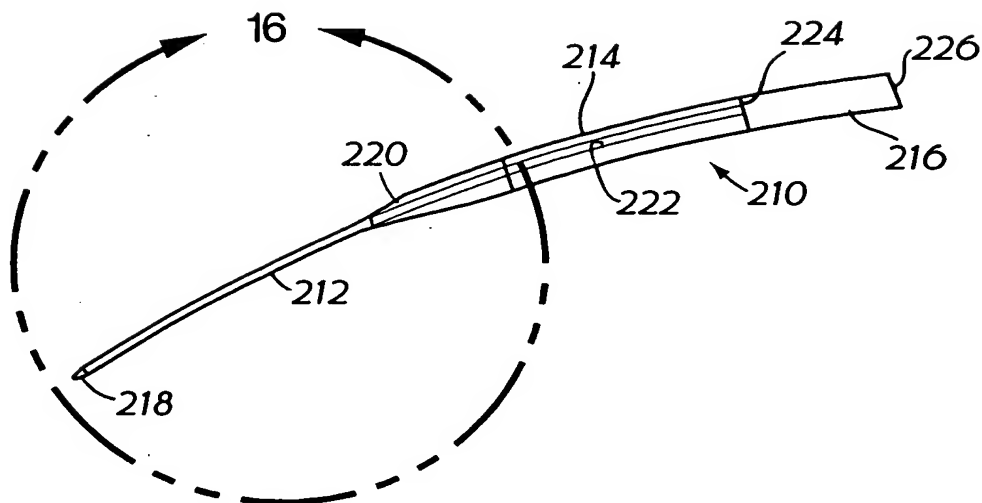


Fig. 15

18/76

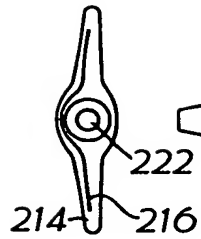


Fig. 17

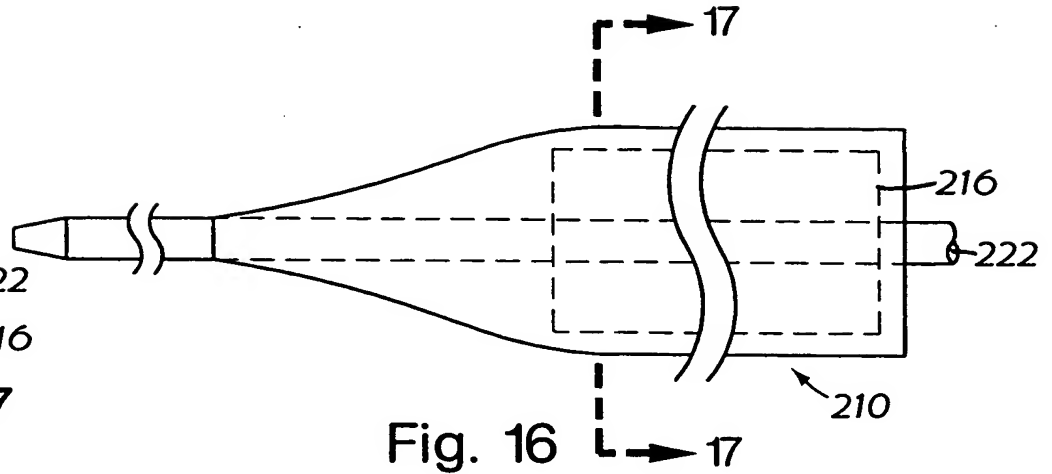


Fig. 16



Fig. 19

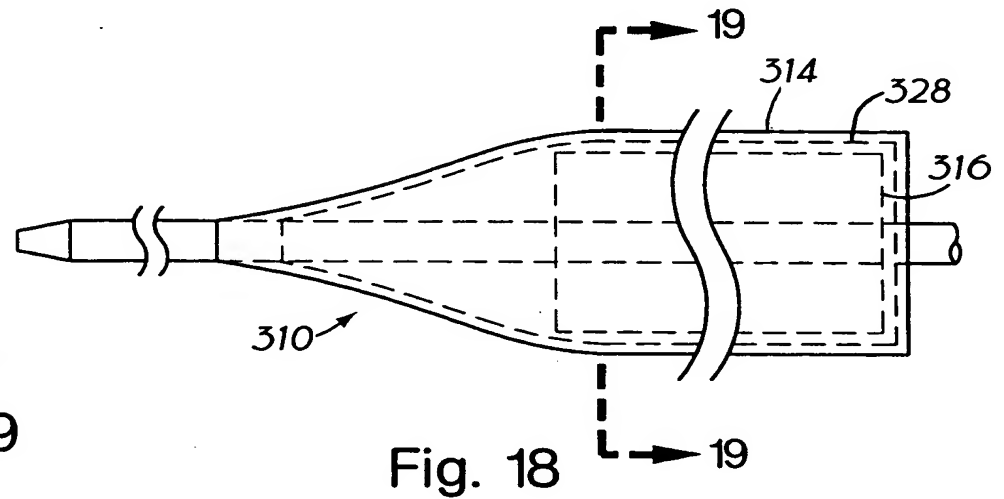


Fig. 18

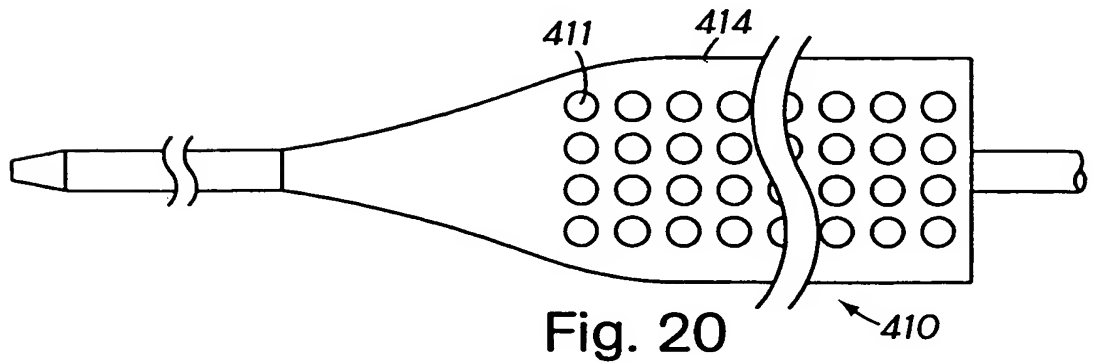


Fig. 20

19/76

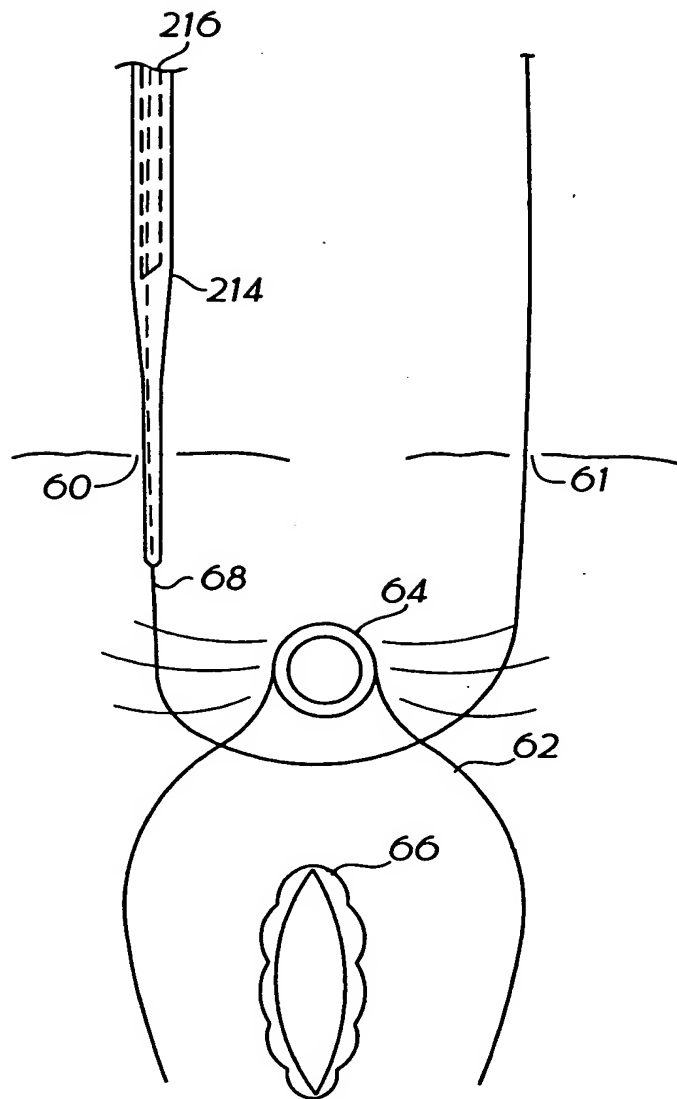


Fig. 21

20/76

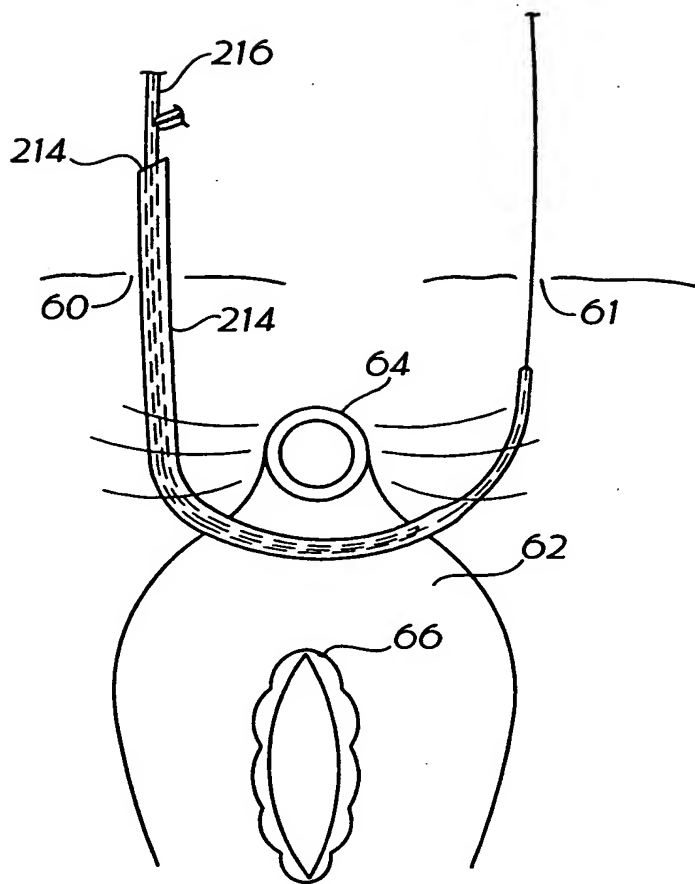


Fig. 22

21/76

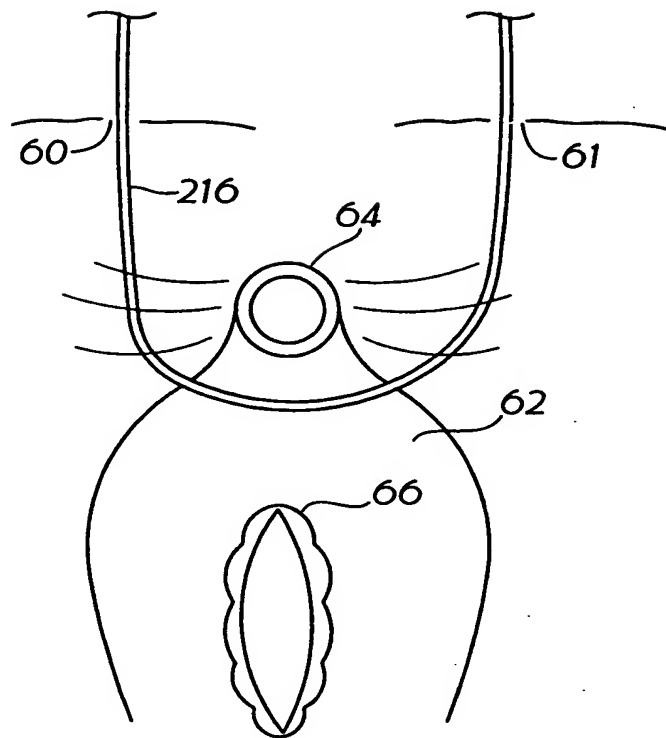
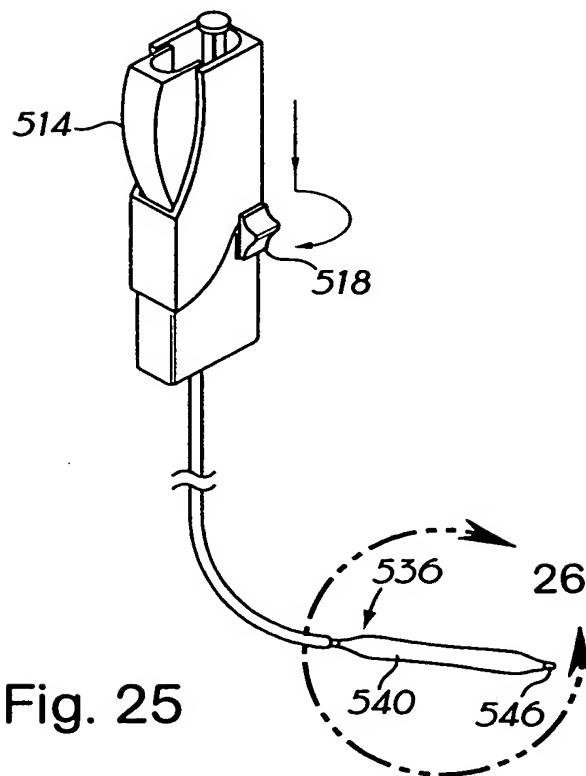
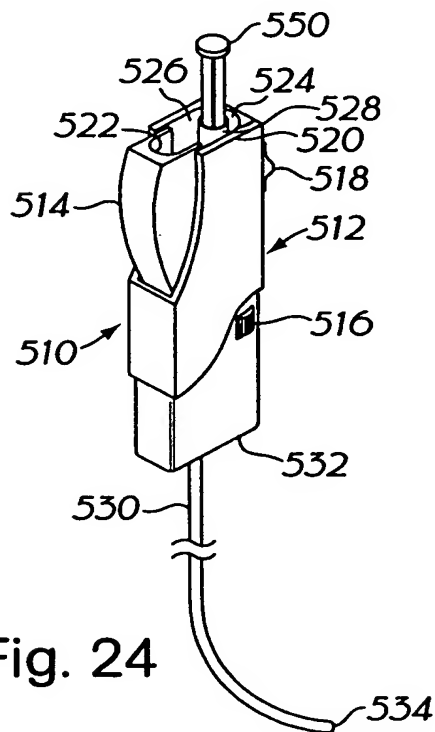


Fig. 23

22/76



23/76

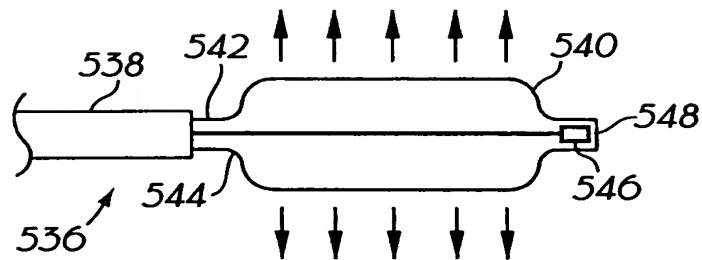
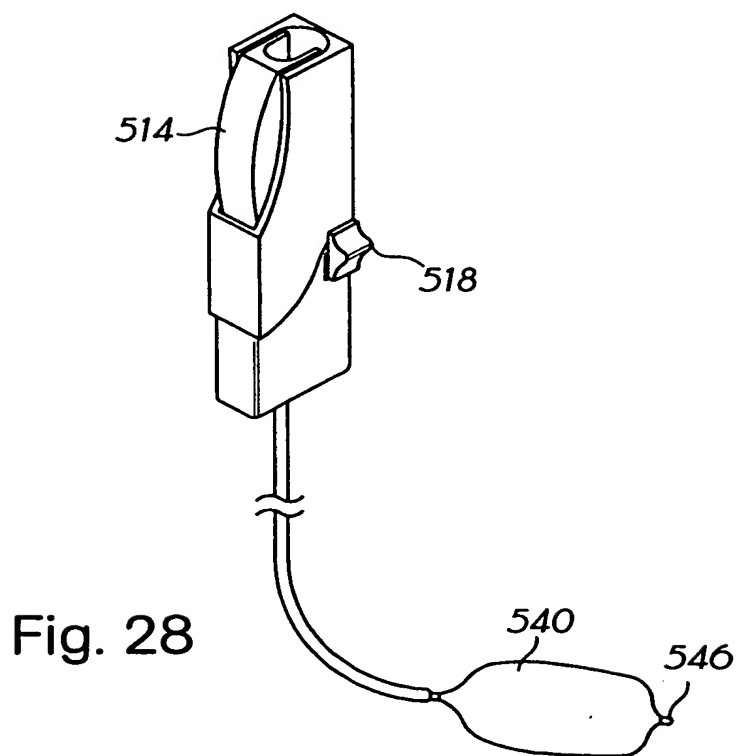
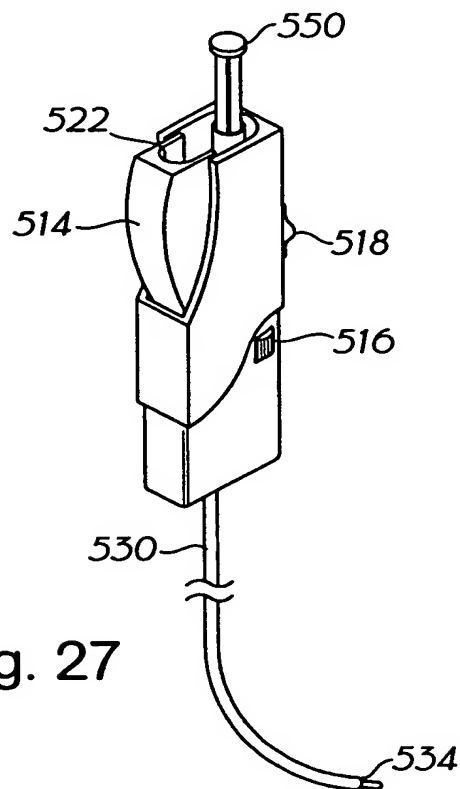


Fig. 26

24/76





25/76

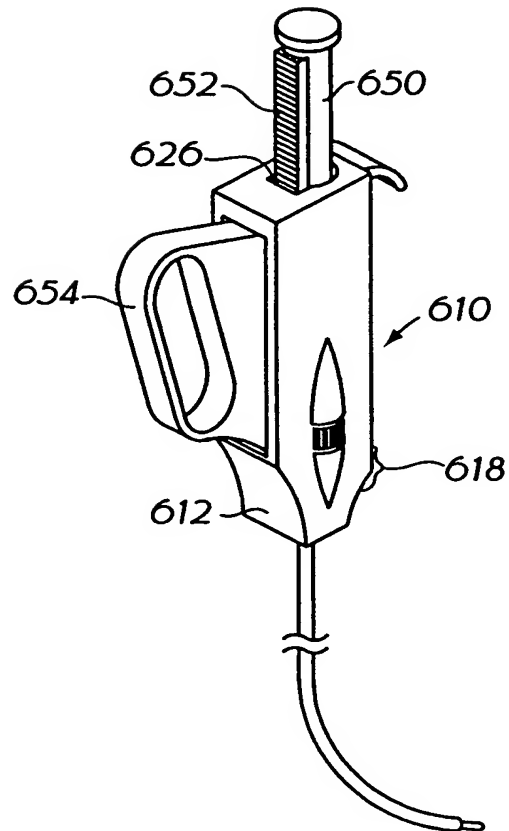


Fig. 29

26/76

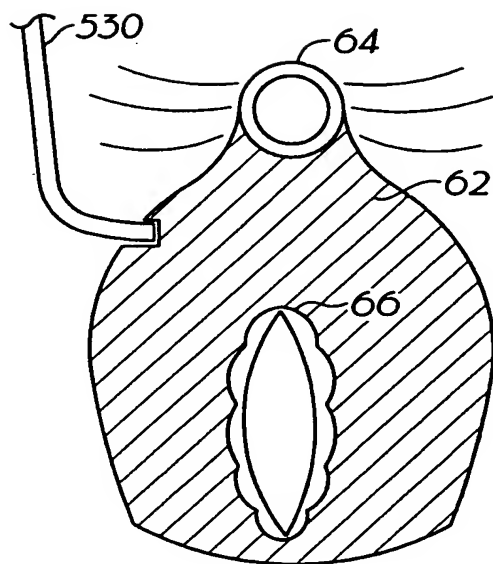


Fig. 30

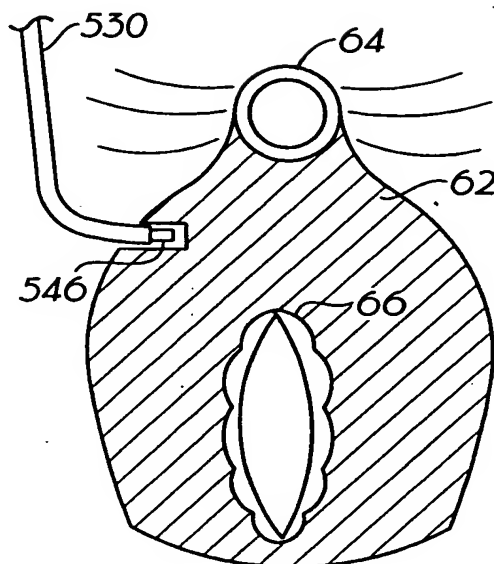


Fig. 31

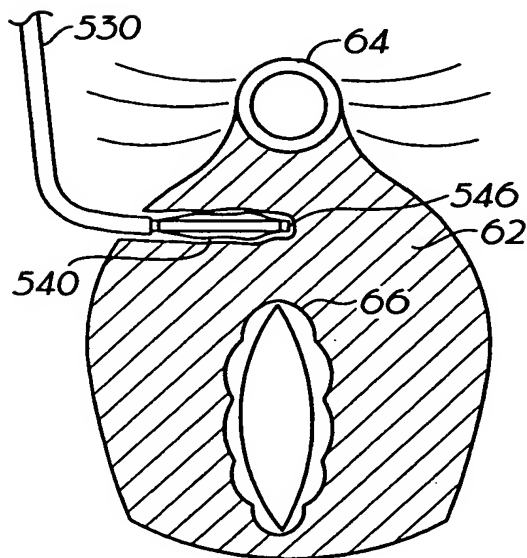


Fig. 32

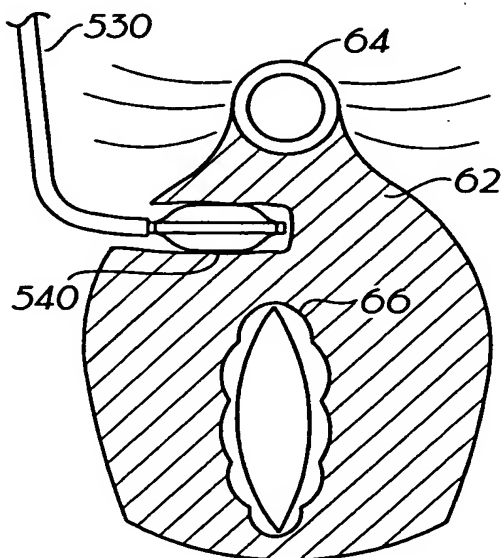


Fig. 33

27/76

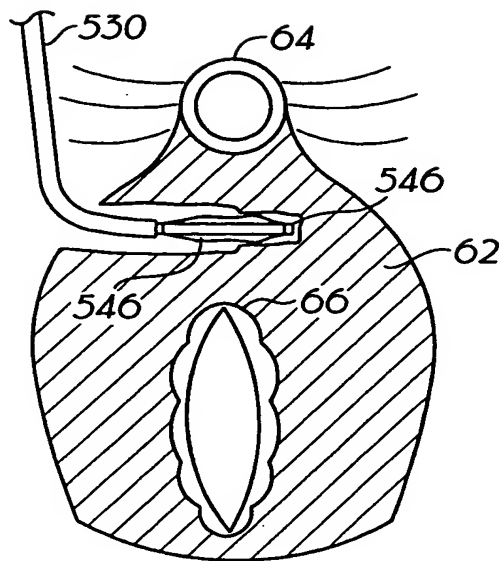


Fig. 34

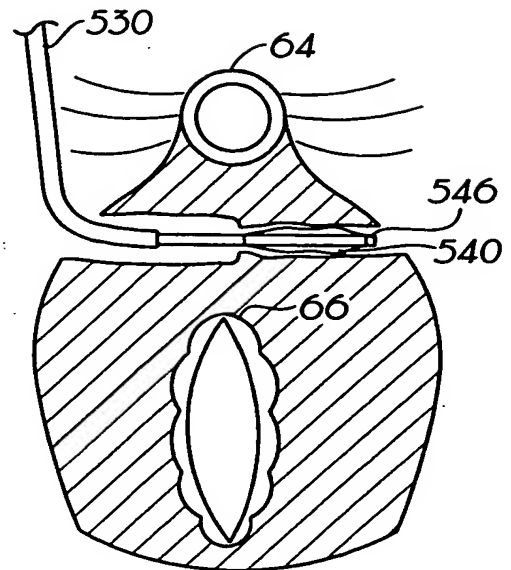


Fig. 35

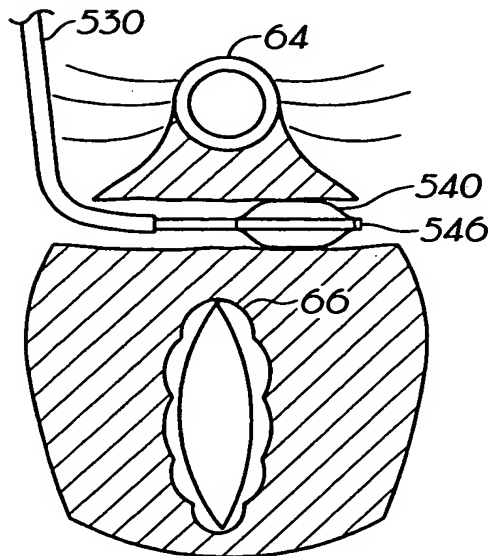


Fig. 36

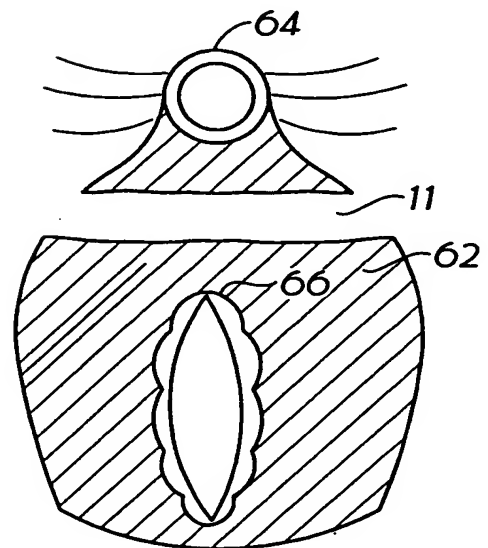
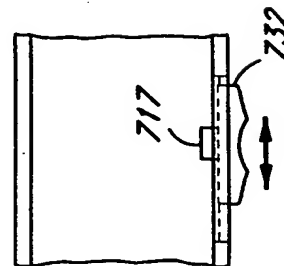
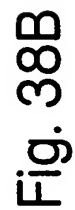


Fig. 37



29/76

Fig. 39

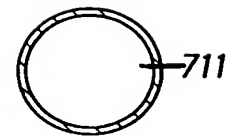
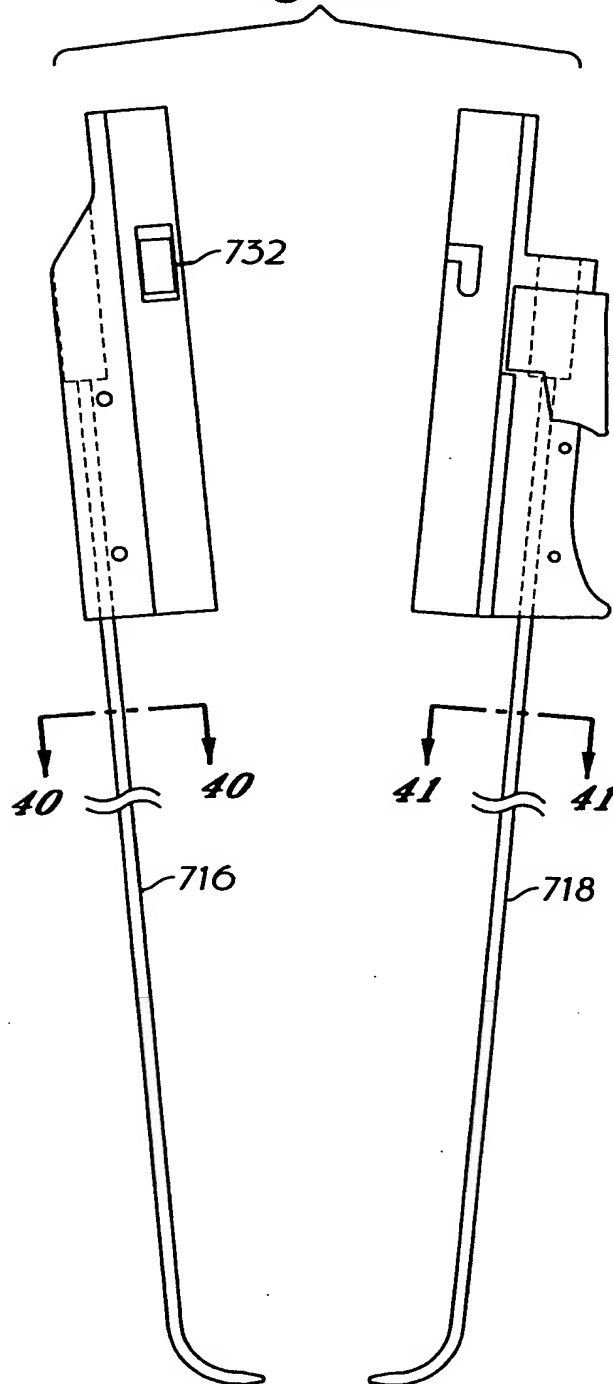


Fig. 40

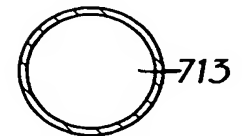


Fig. 41

30/76

Fig. 42

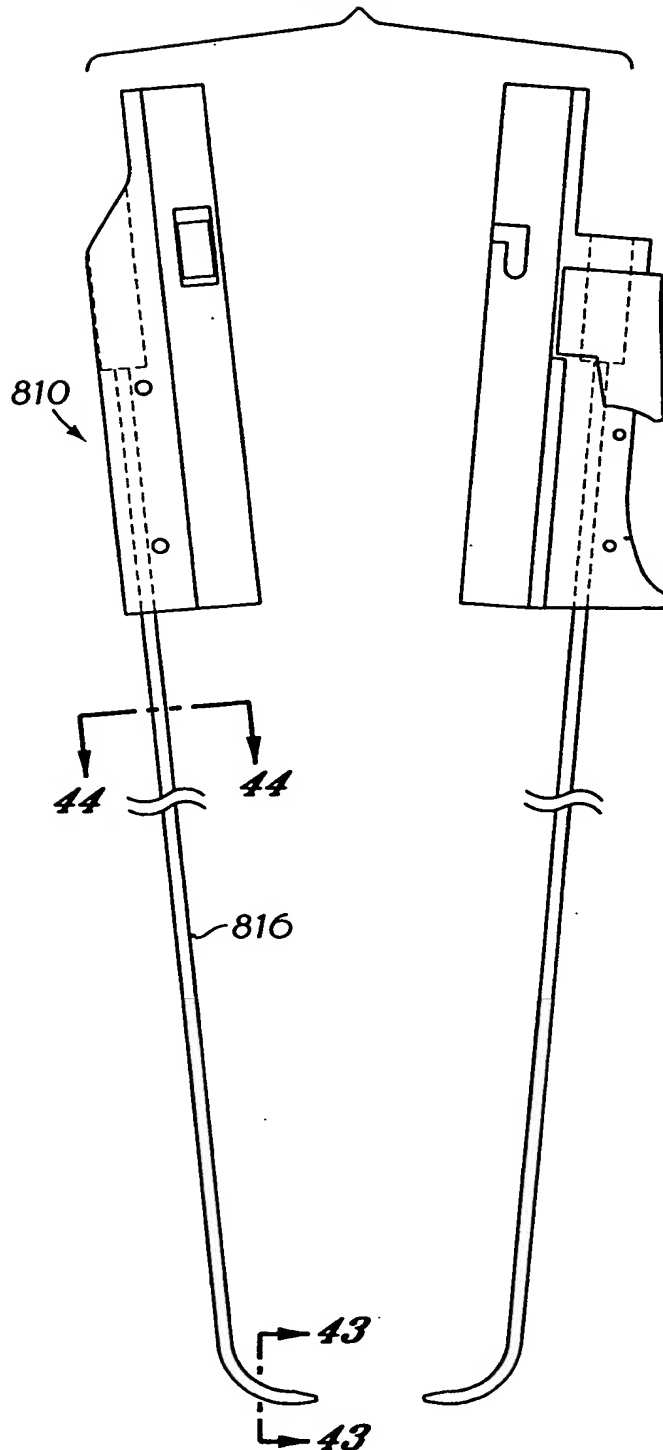


Fig. 43

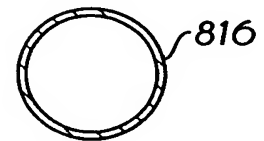


Fig. 44

31/76

Fig. 45

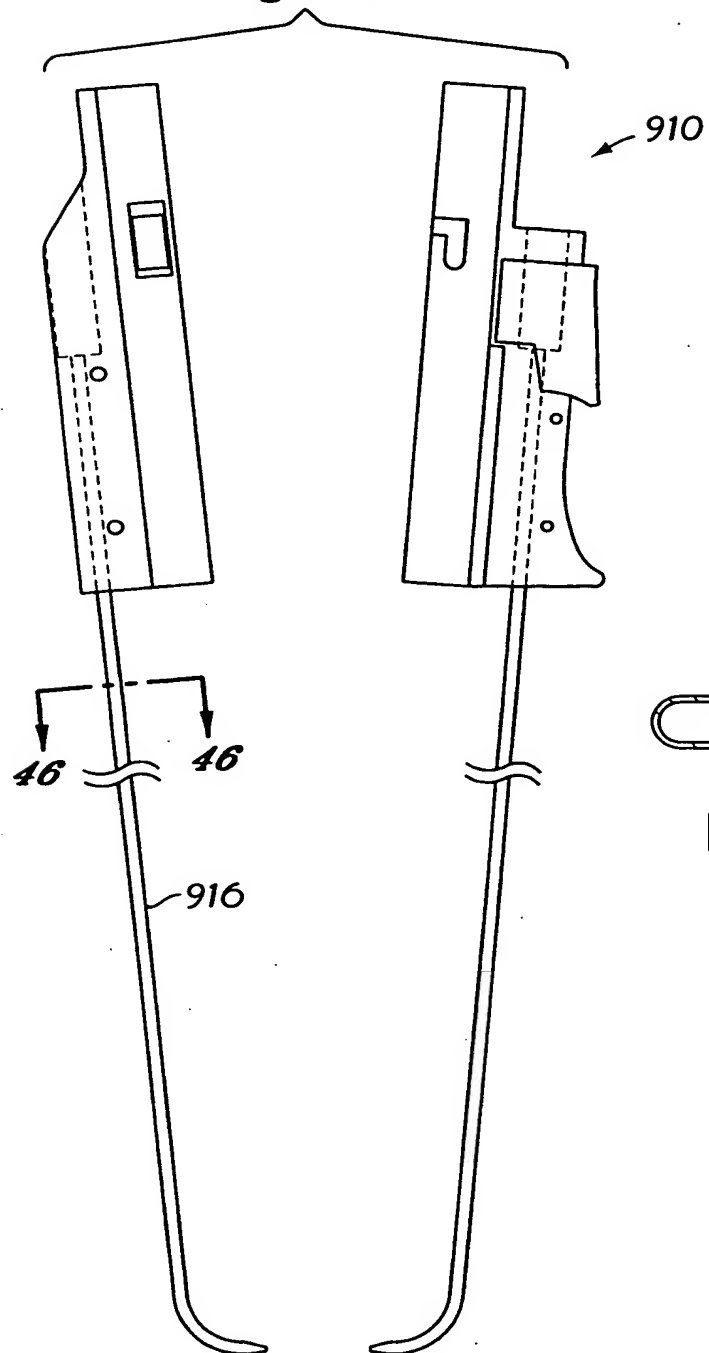
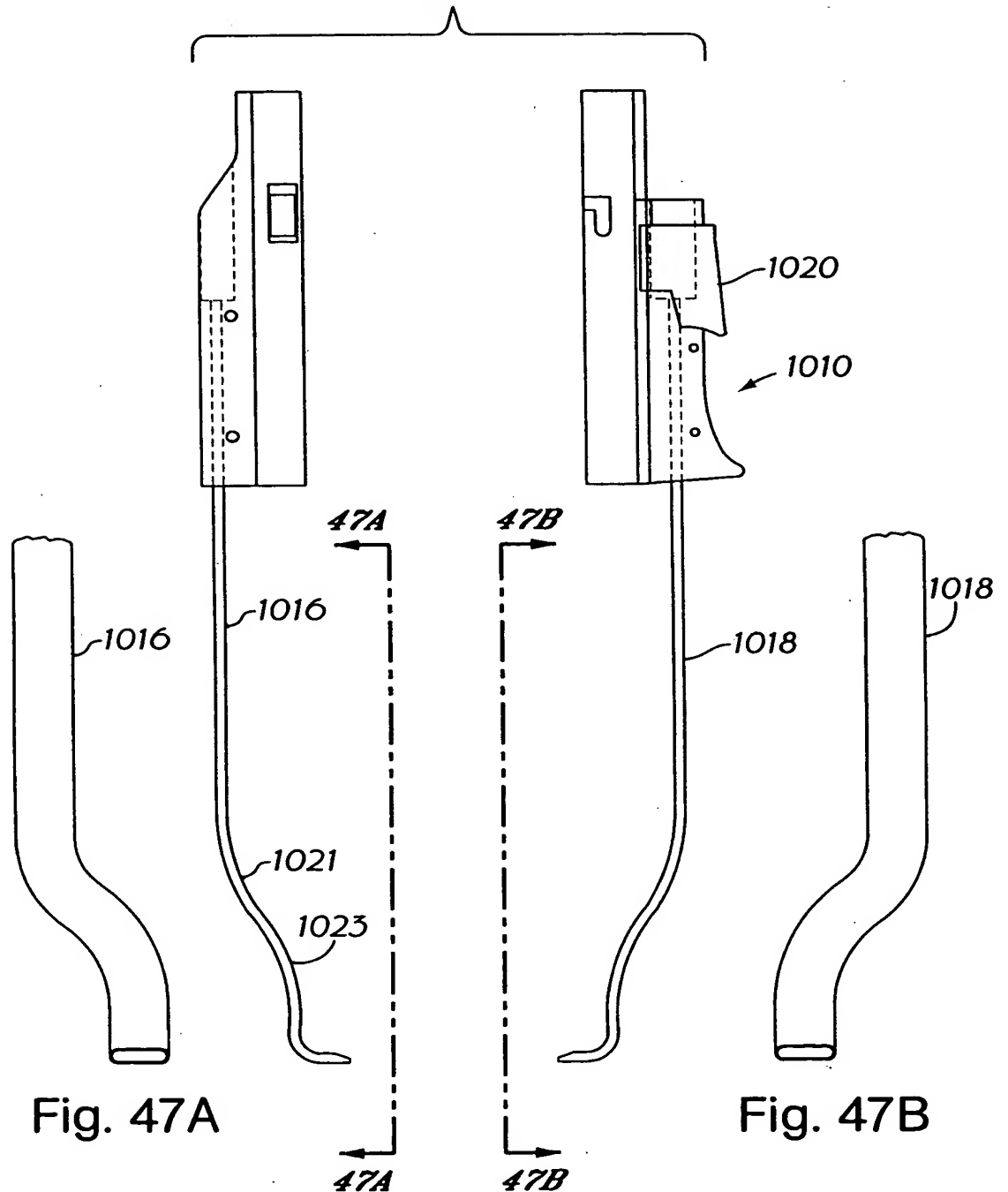


Fig. 46

32/76

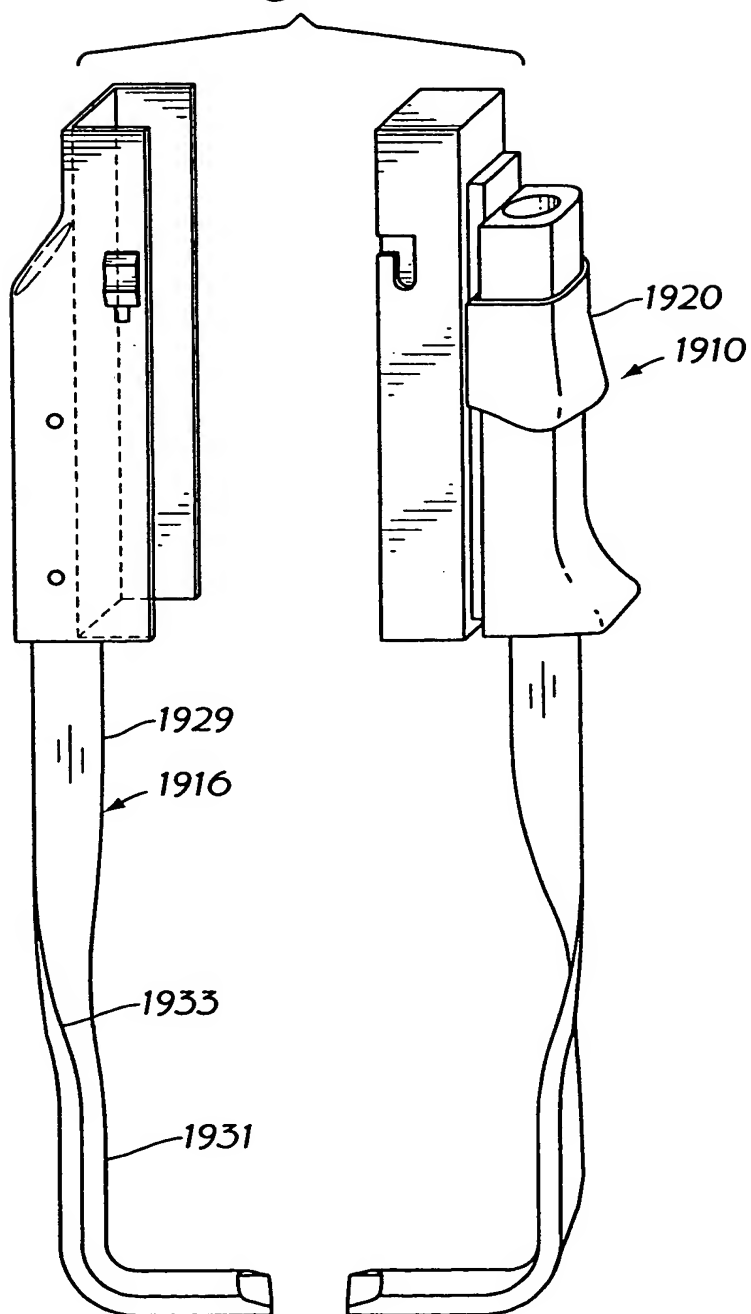
Fig. 47



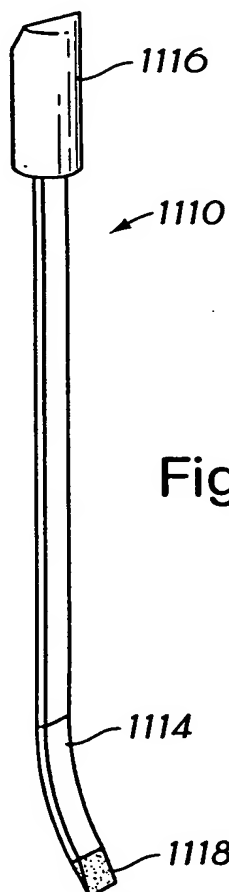
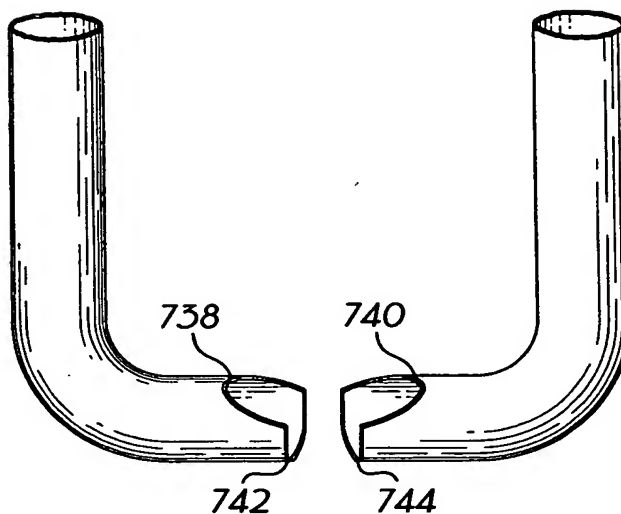


33/76

Fig. 48



34/76



35/76

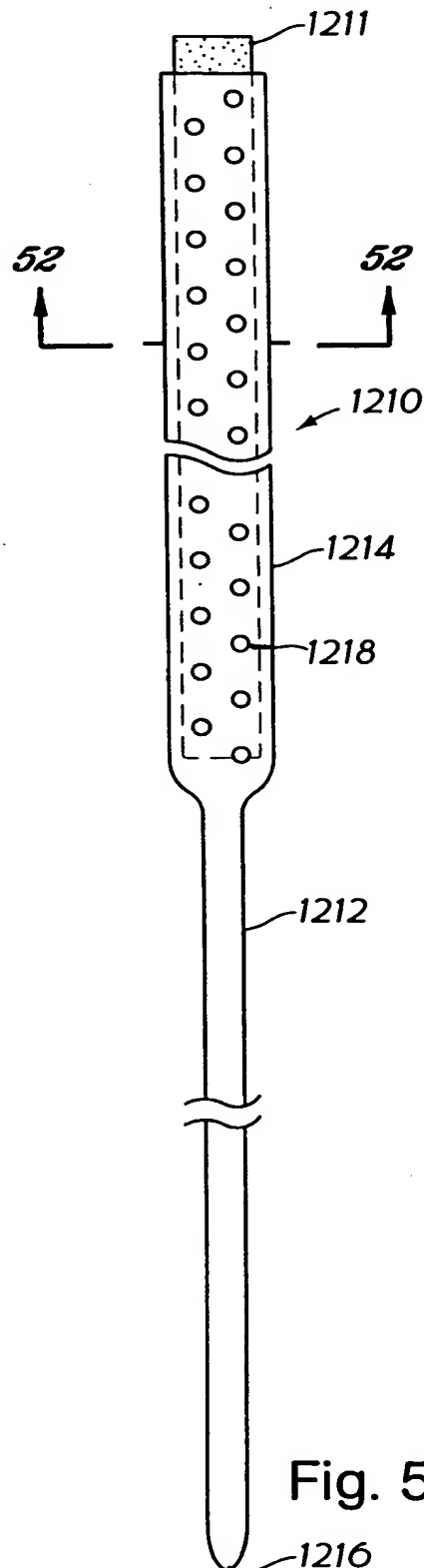


Fig. 52

Fig. 51

36/76

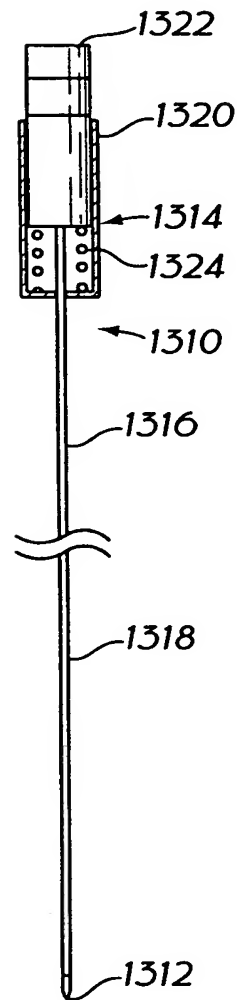


Fig. 53

37/76

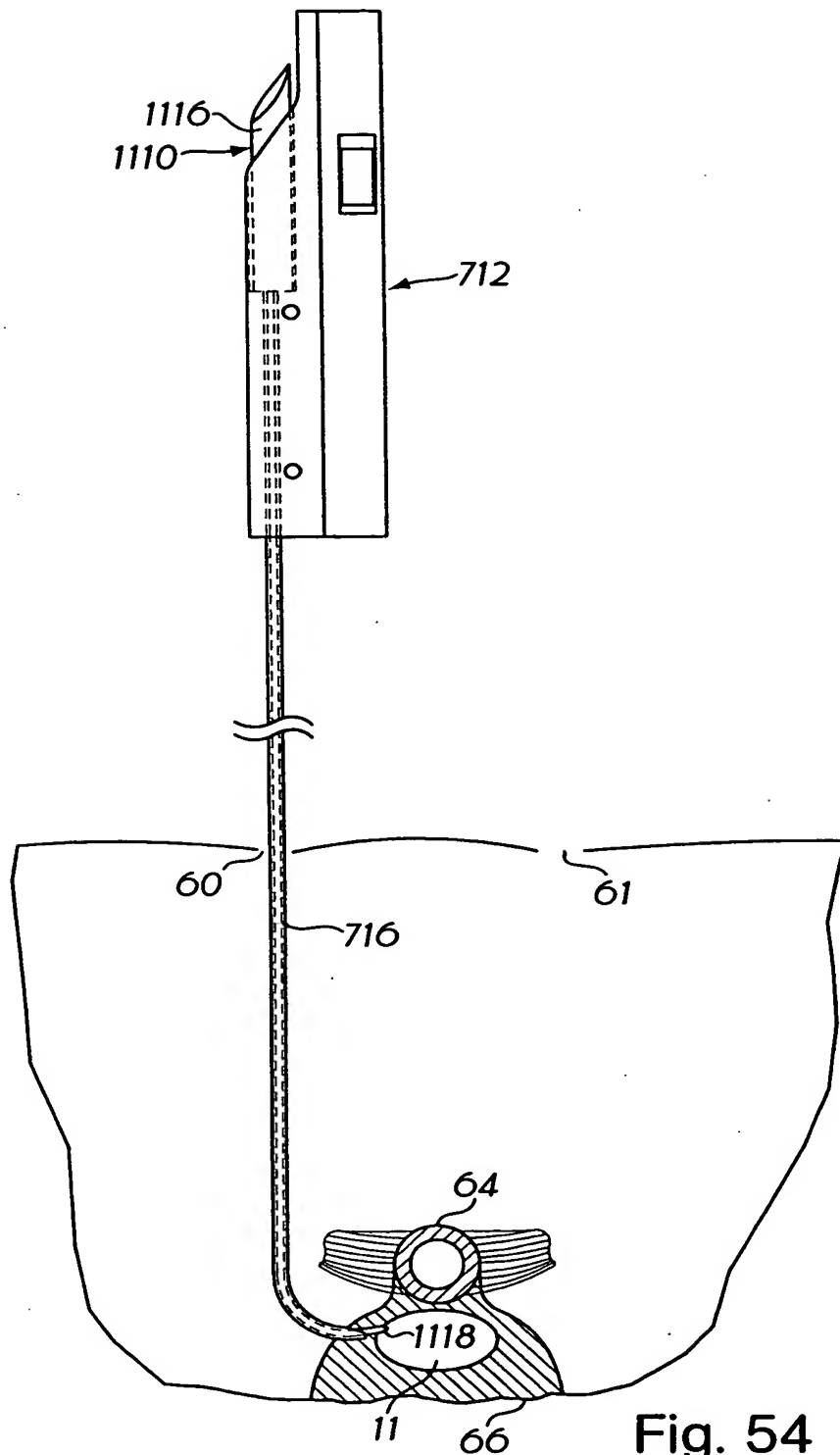


Fig. 54

38/76

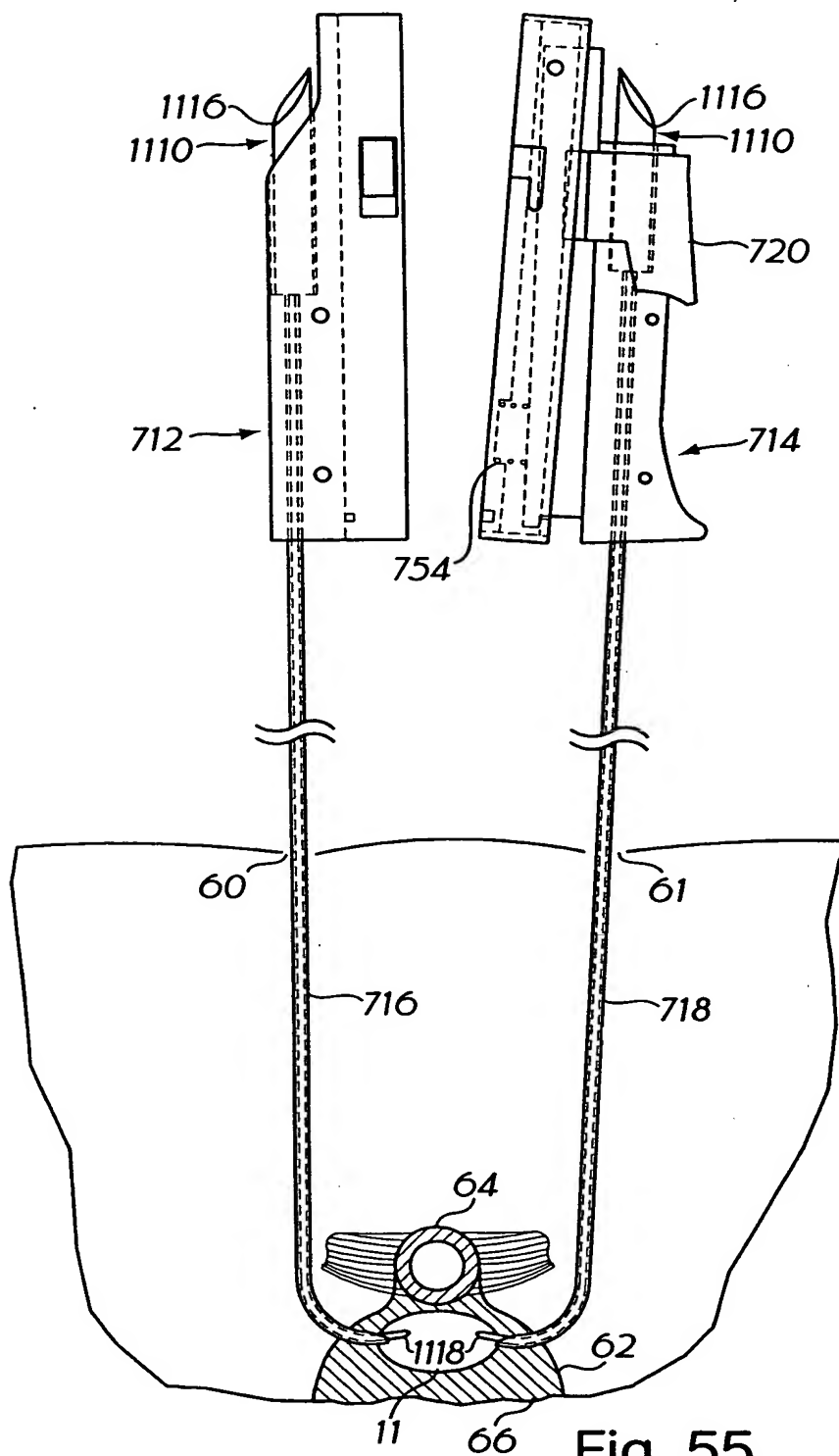


Fig. 55

39/76

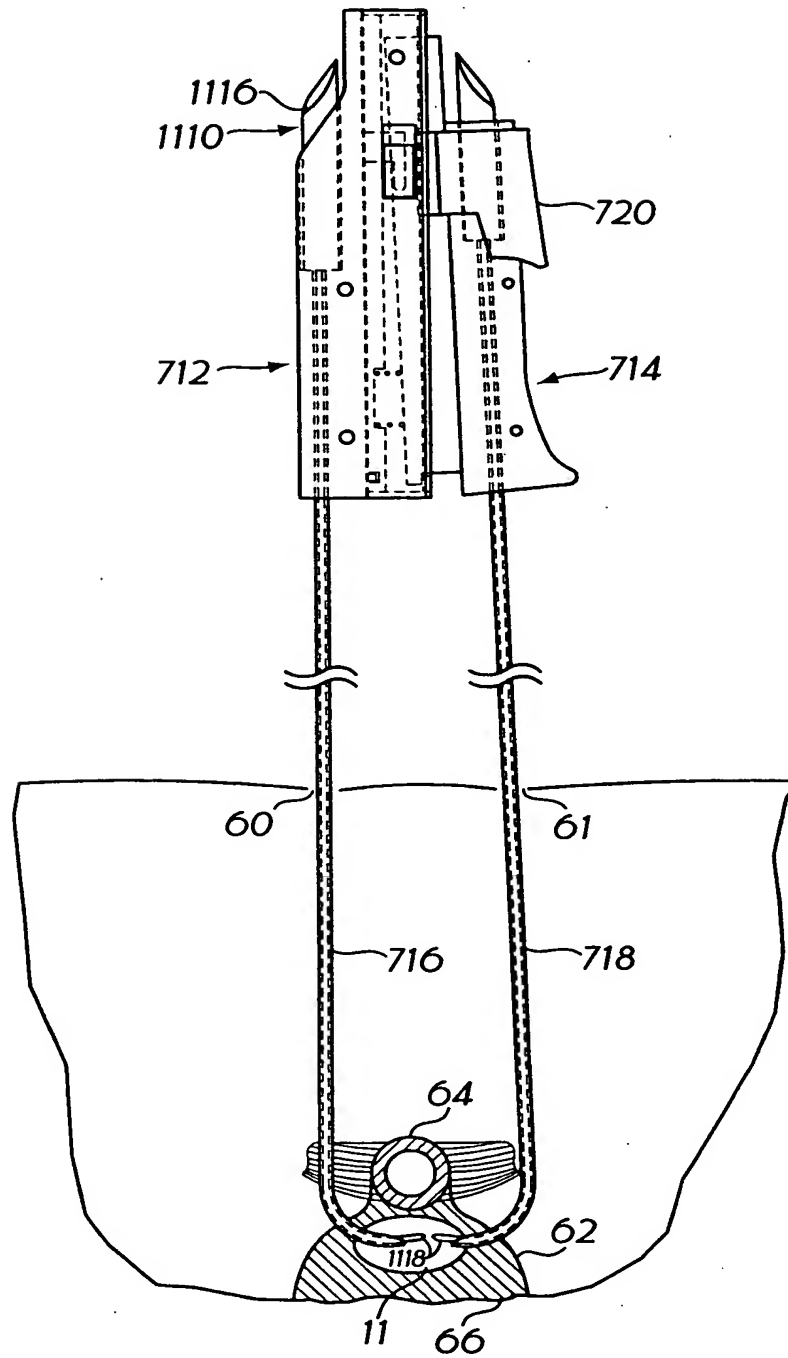


Fig. 56

40/76

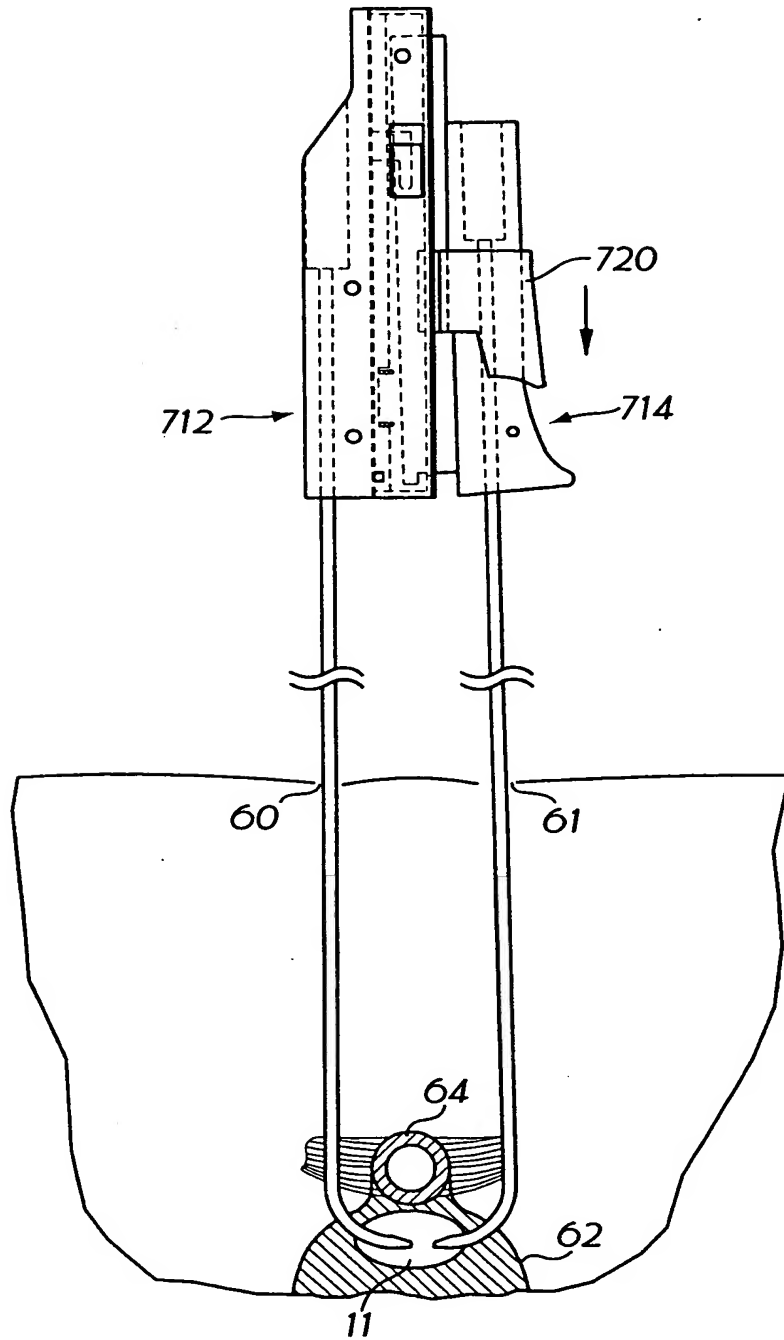


Fig. 57



41/76

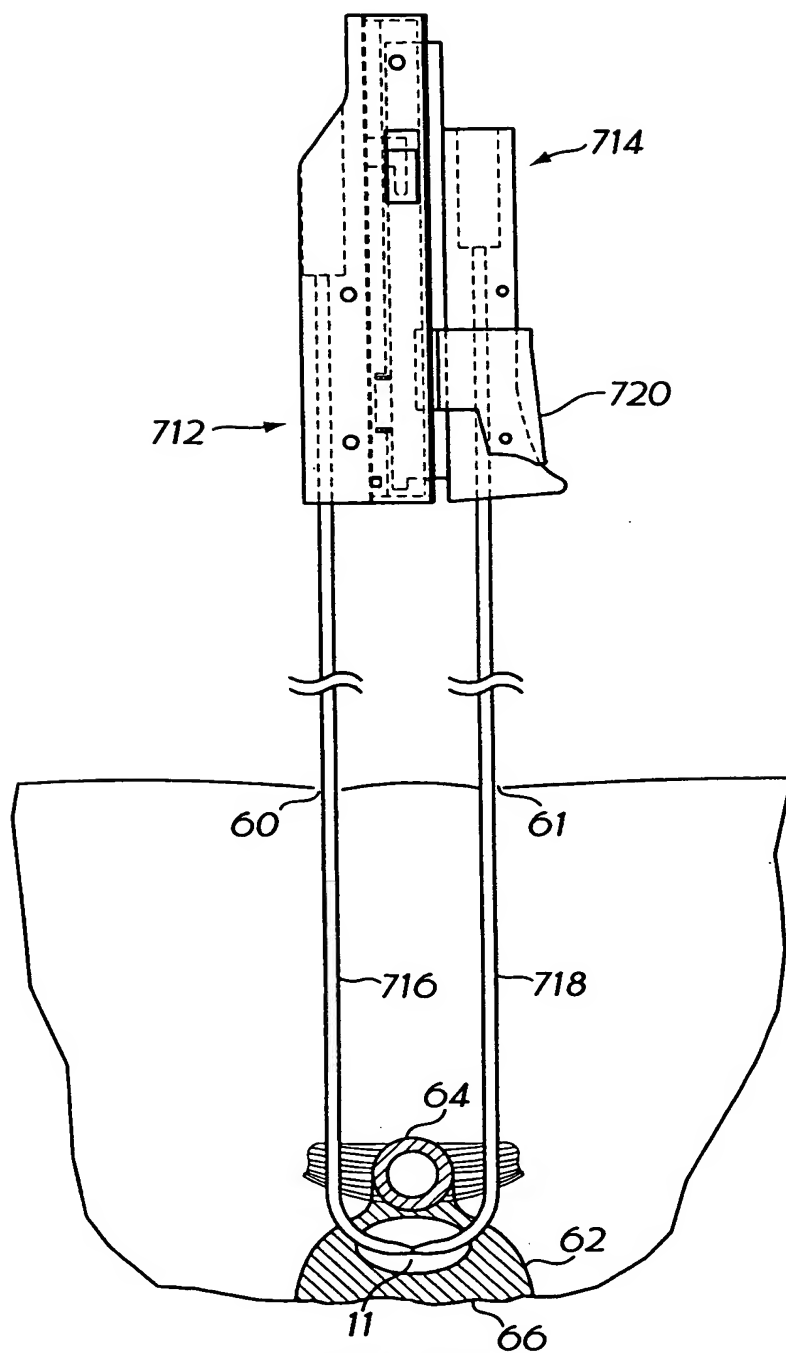


Fig. 58

42/76

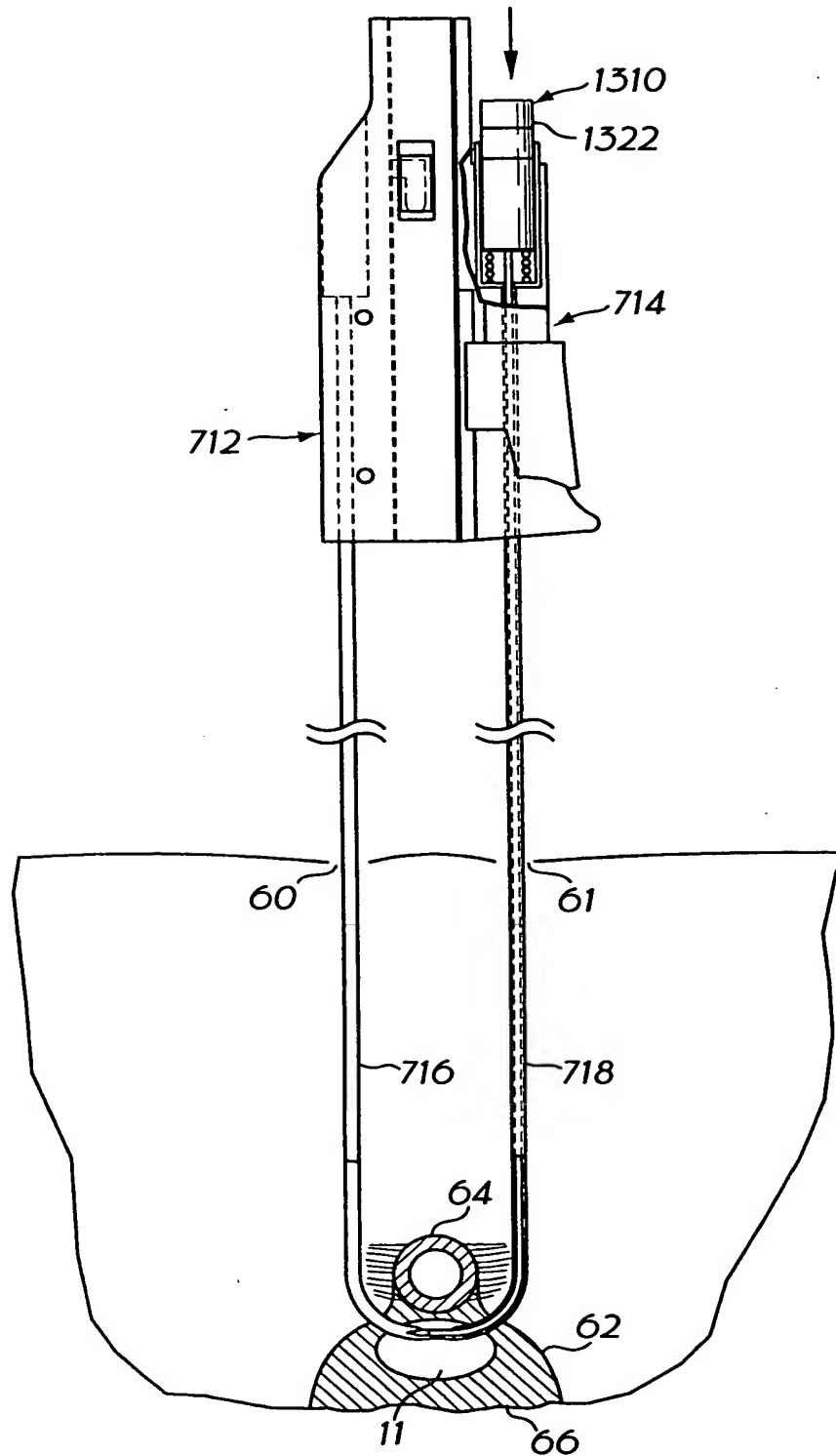


Fig. 59

43/76

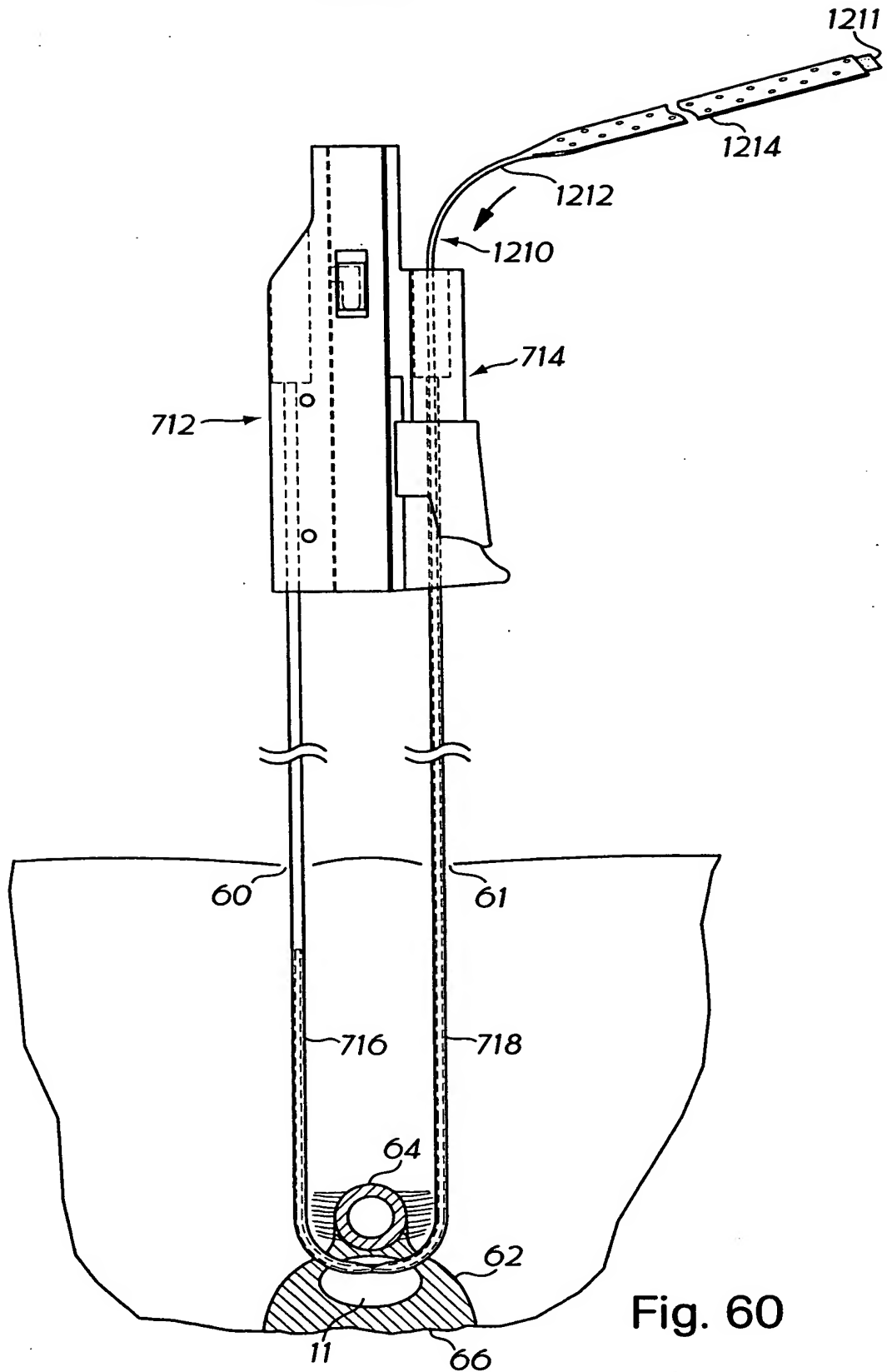
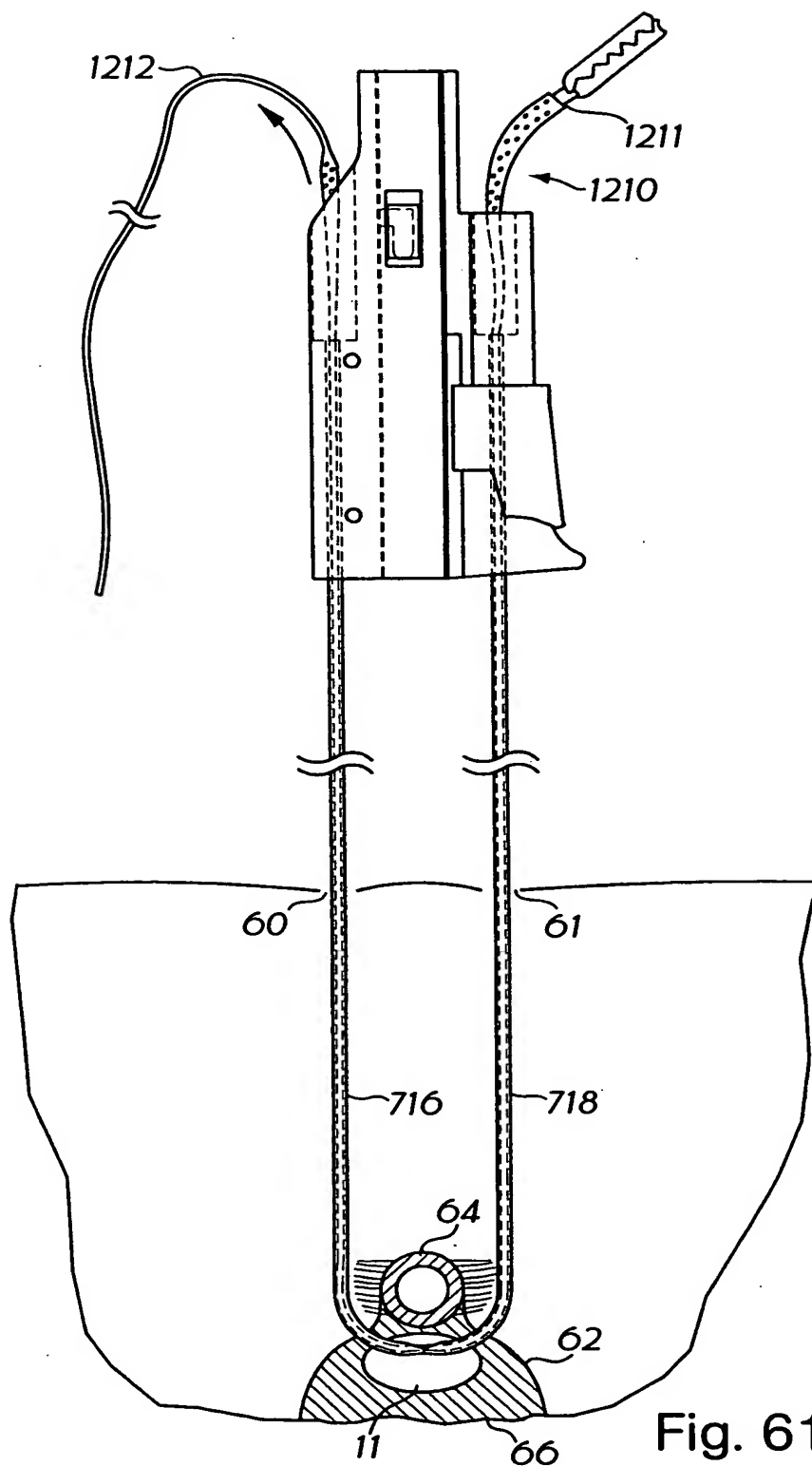
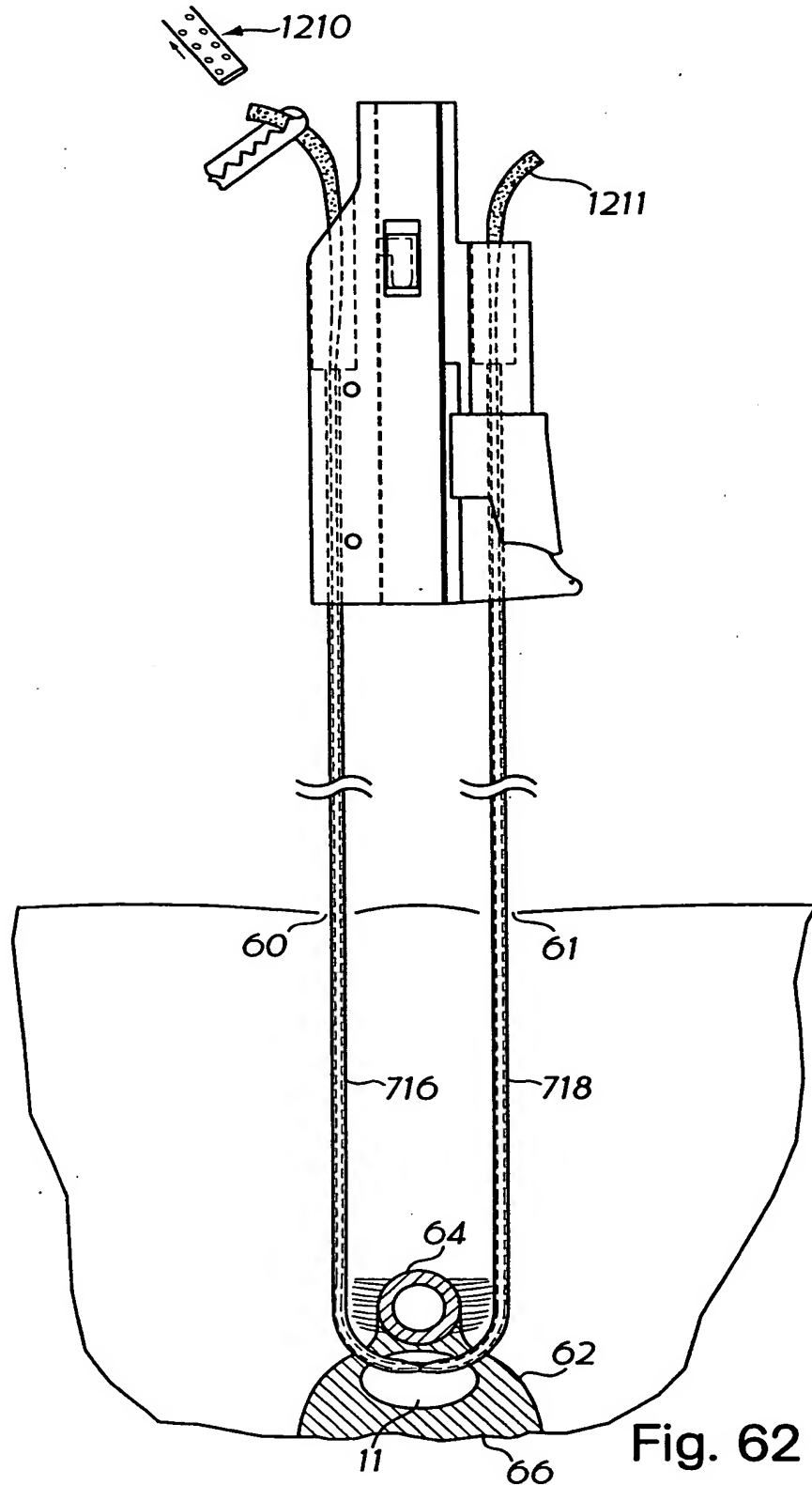


Fig. 60

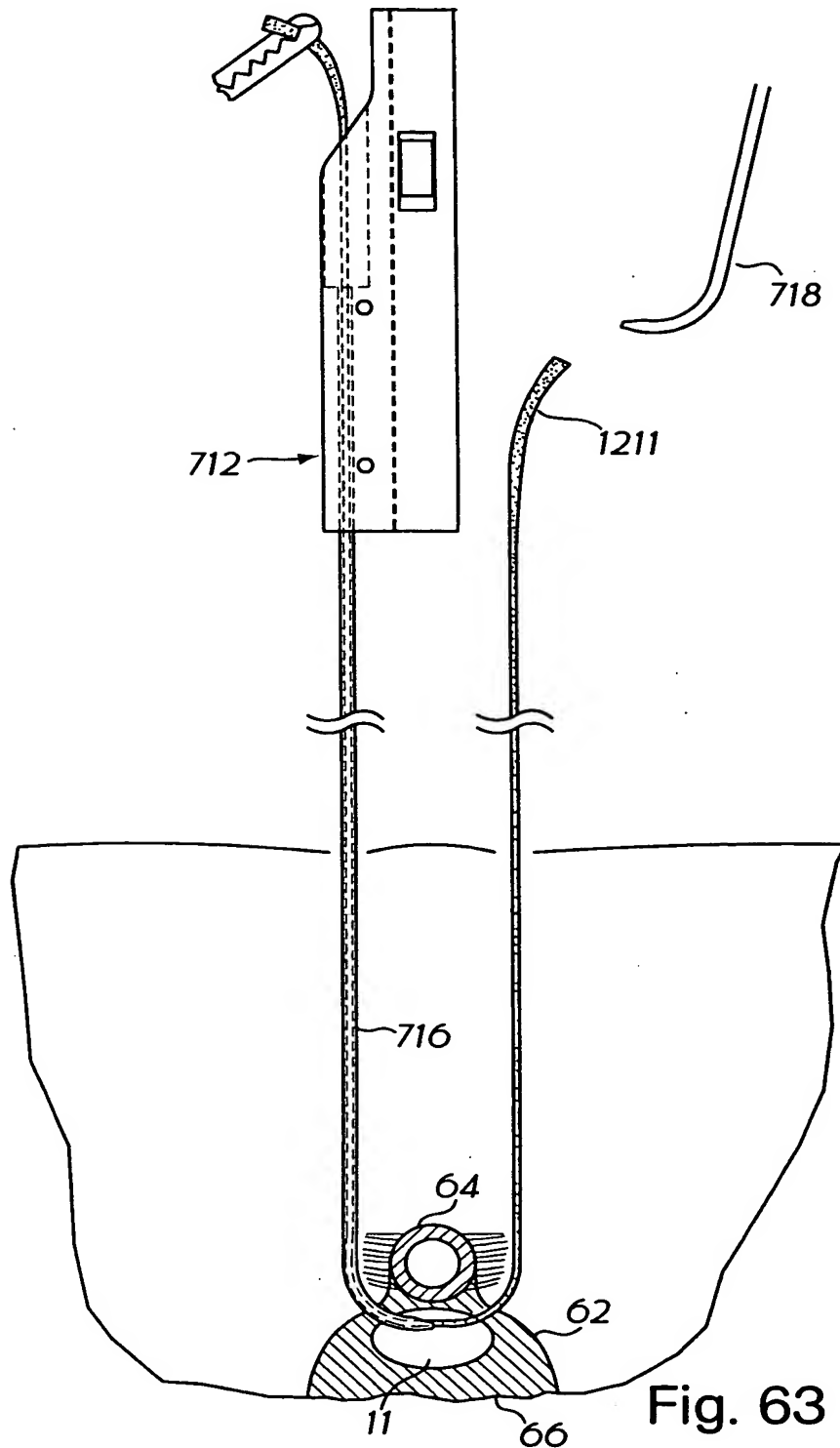
44/76



45/76



46/76



47/76

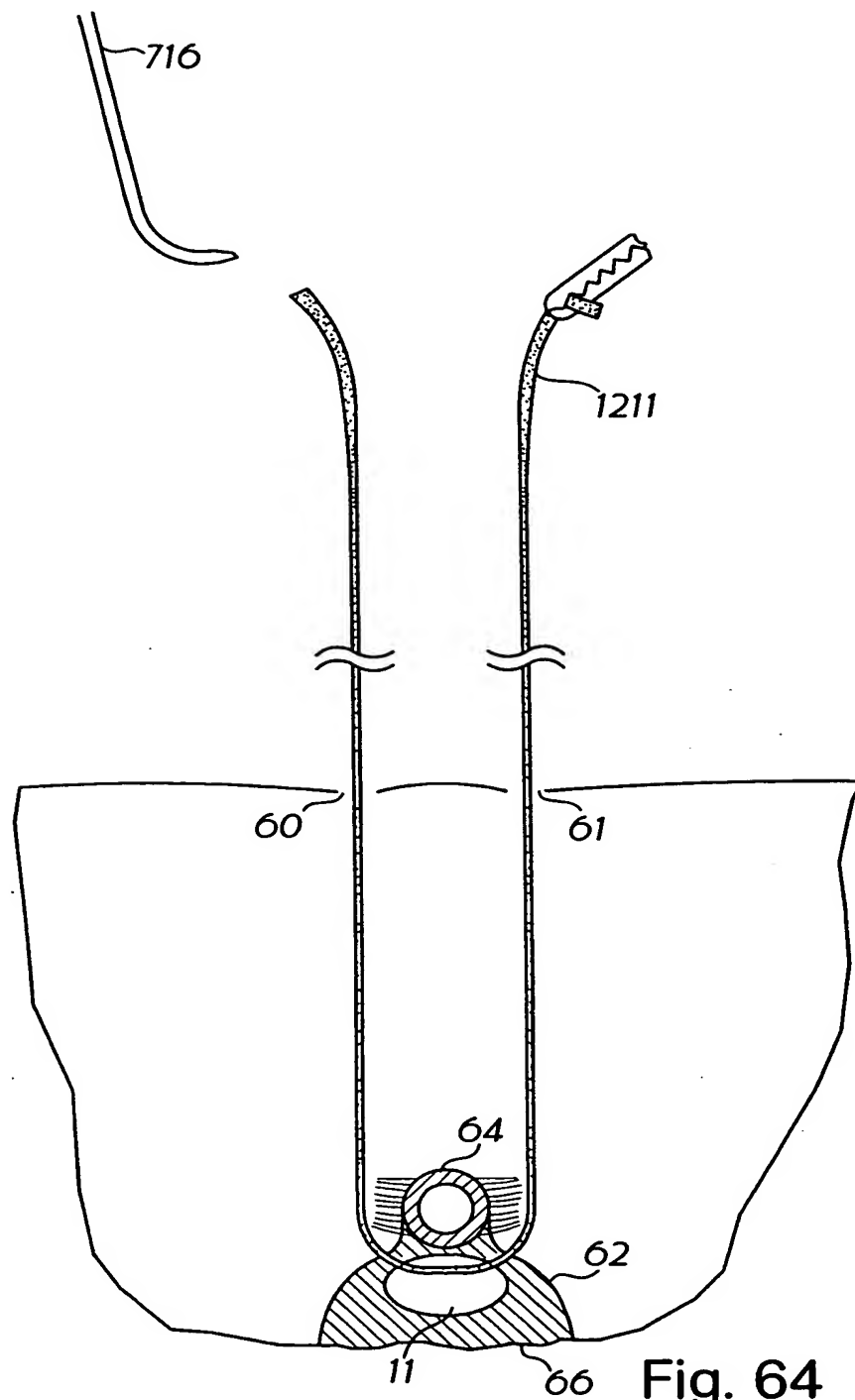
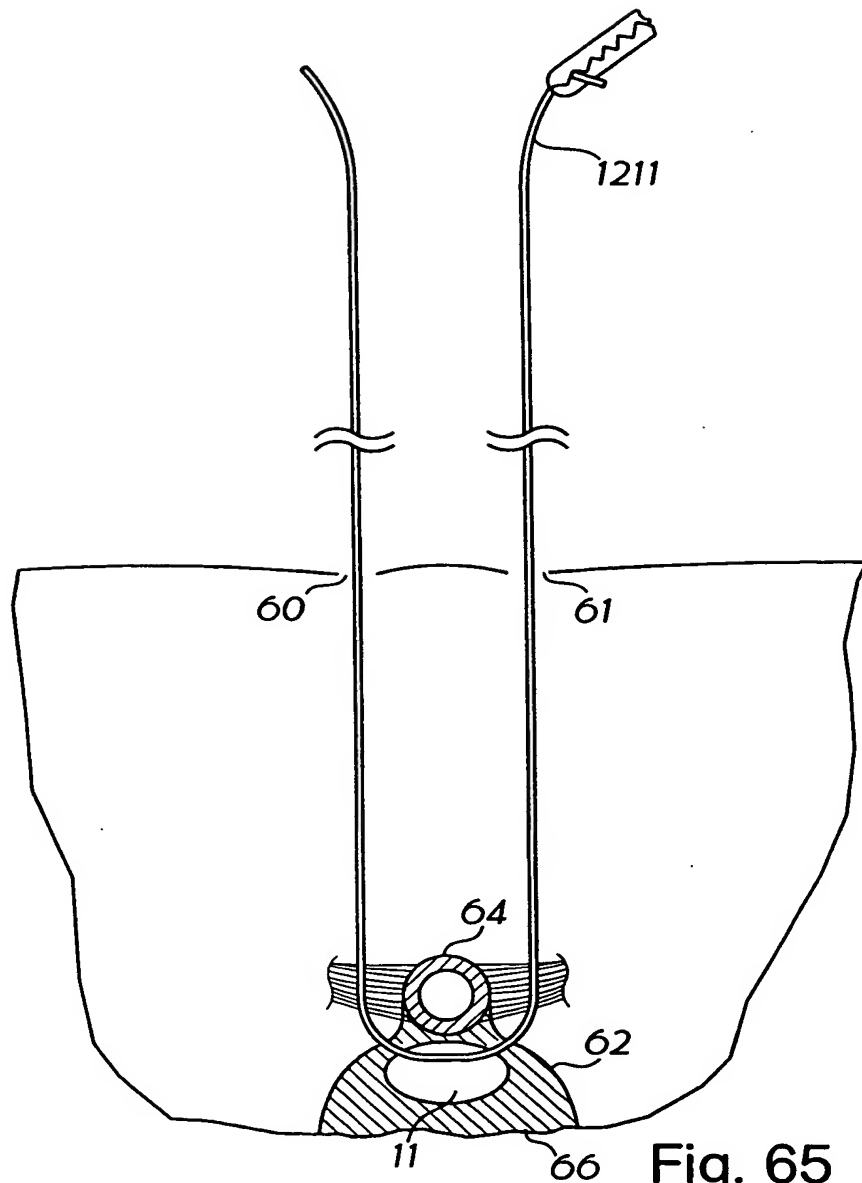


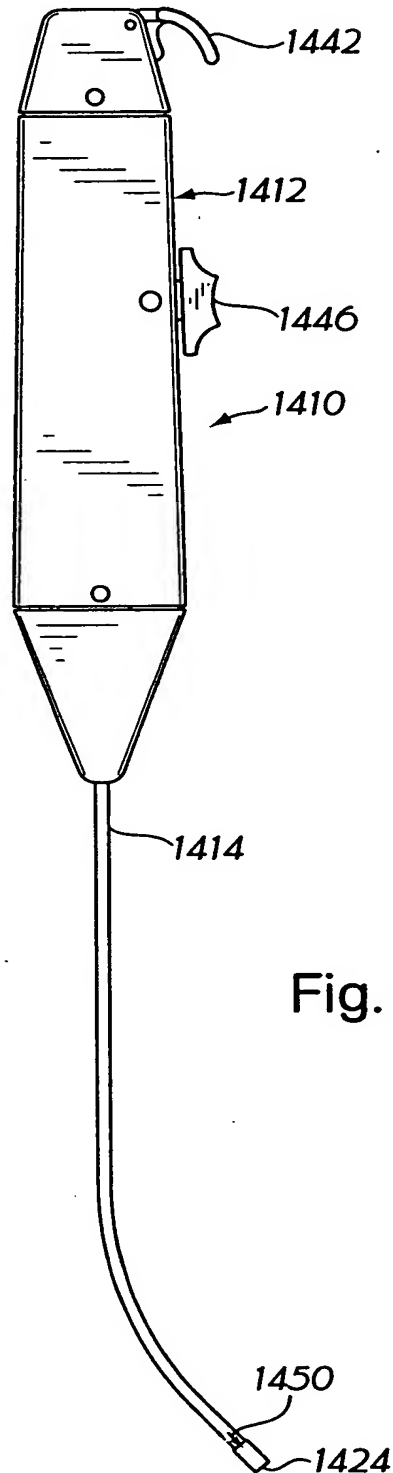
Fig. 64

48/76





49/76



50/76

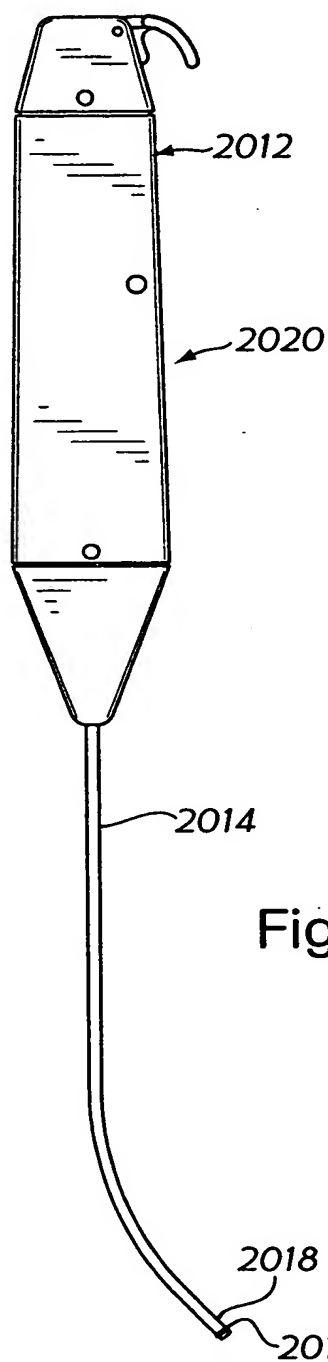


Fig. 67

51/76

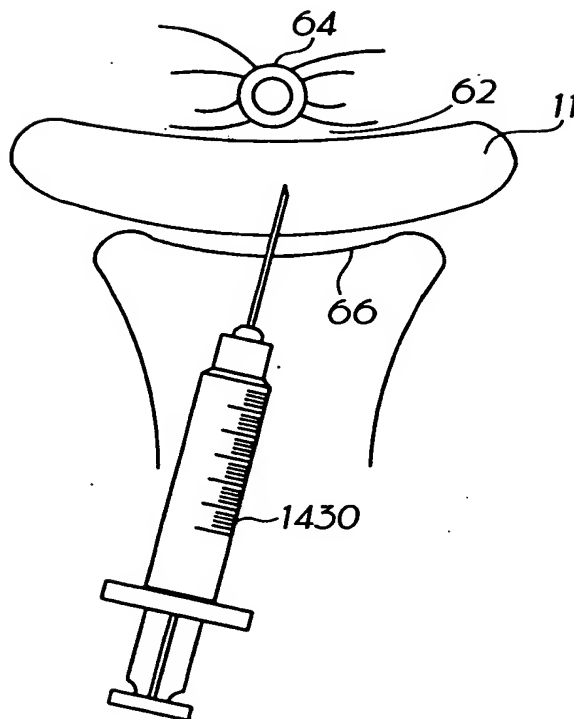


Fig. 68

52/76

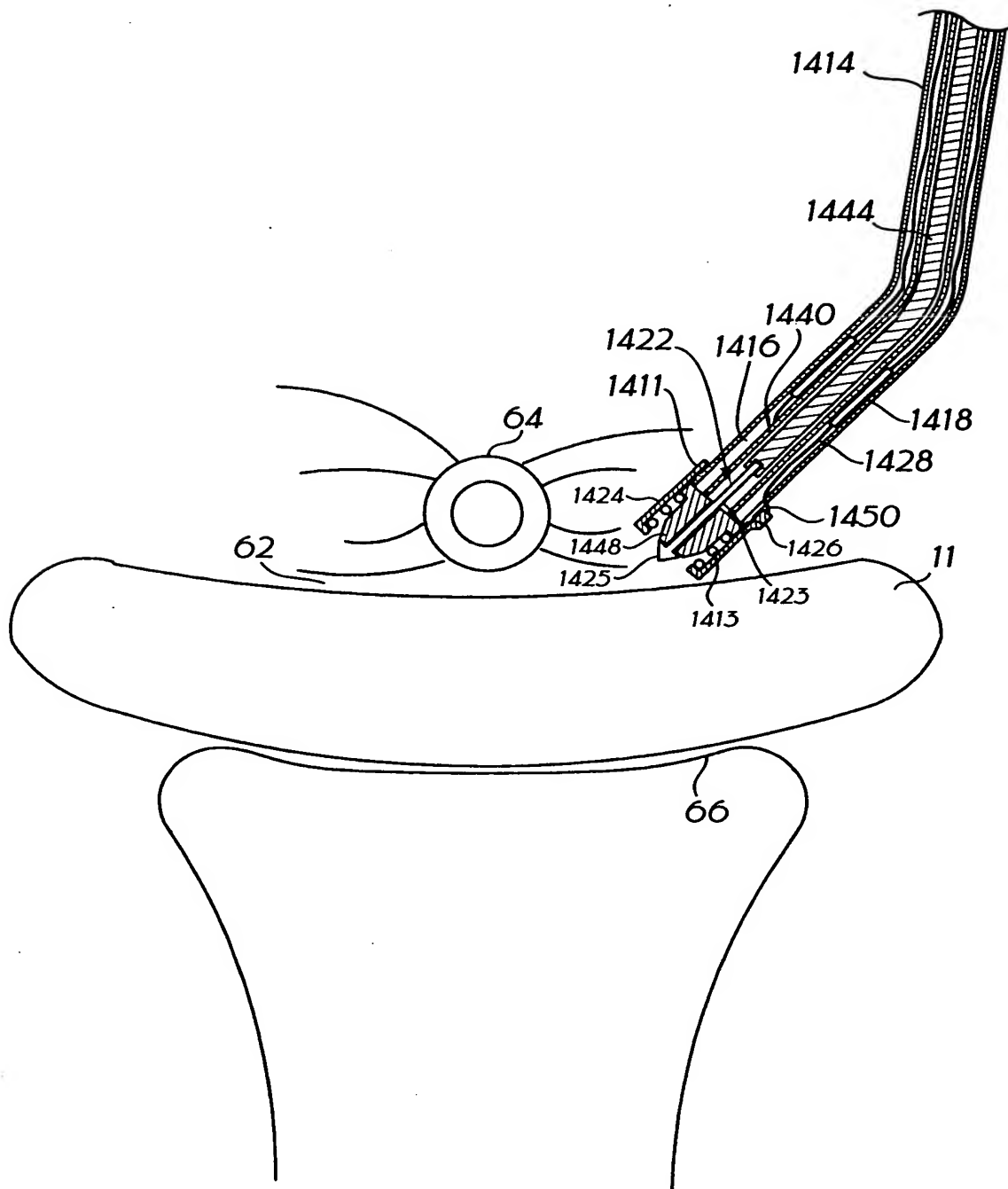


Fig. 69

53/76

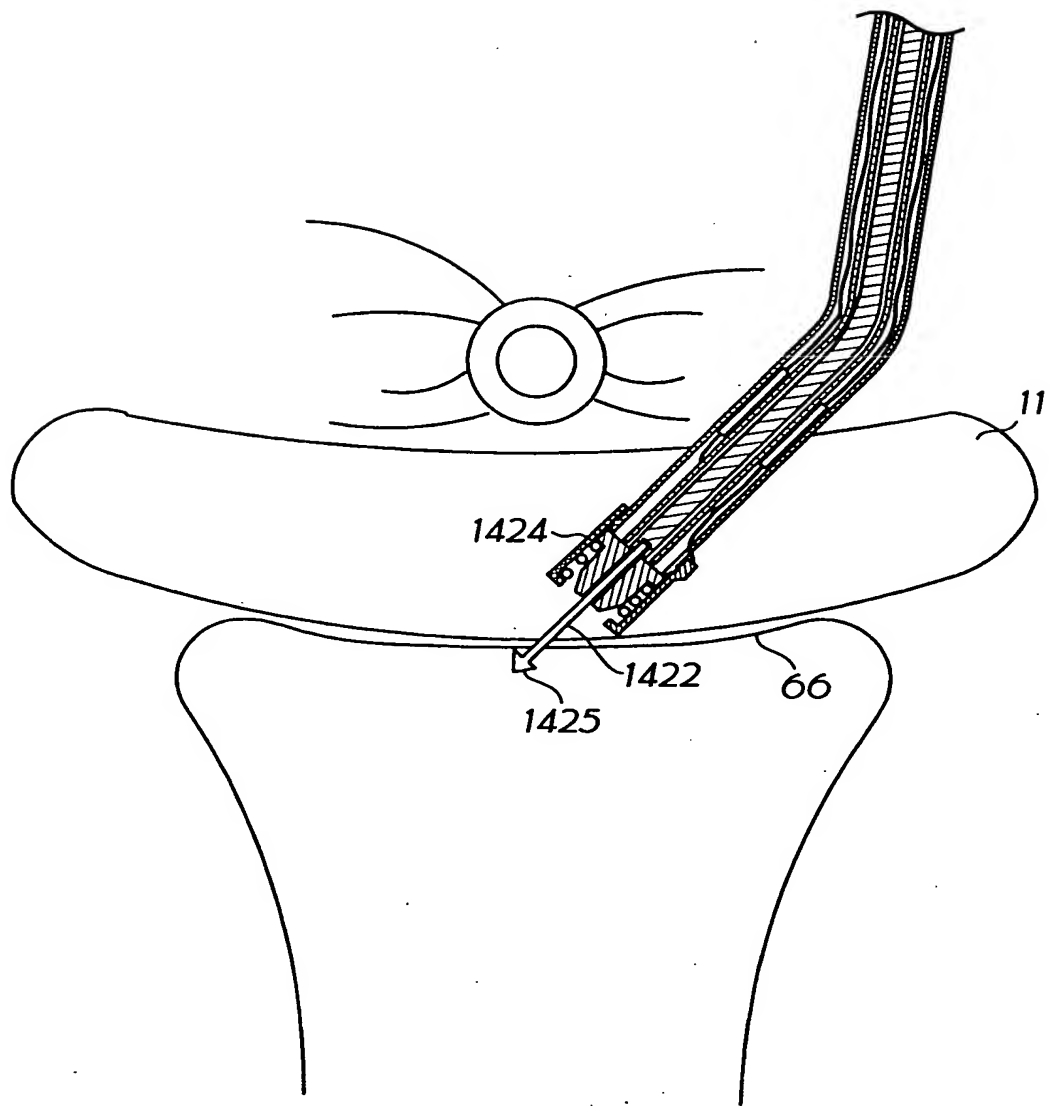


Fig. 70

54/76

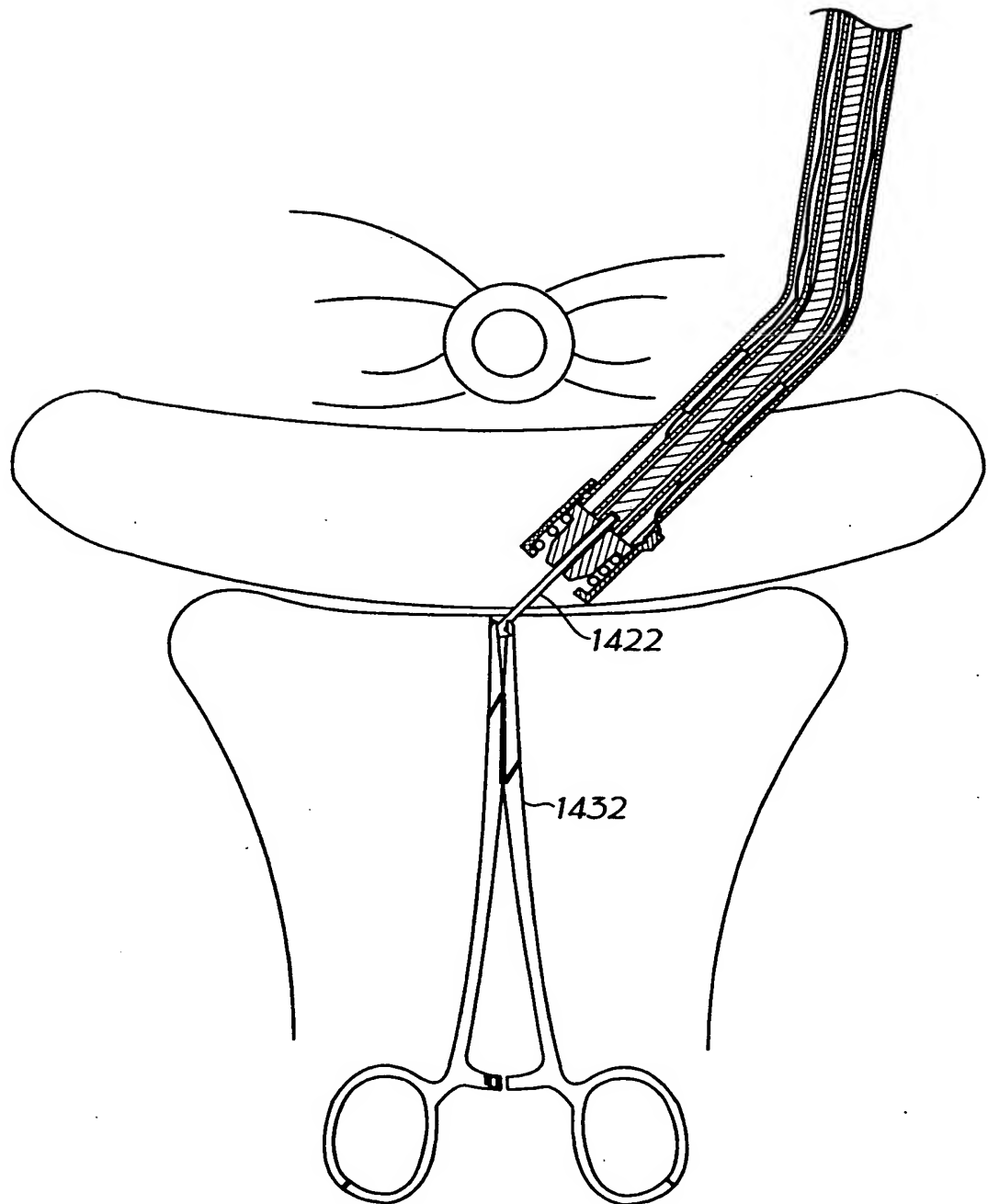


Fig. 71

55/76

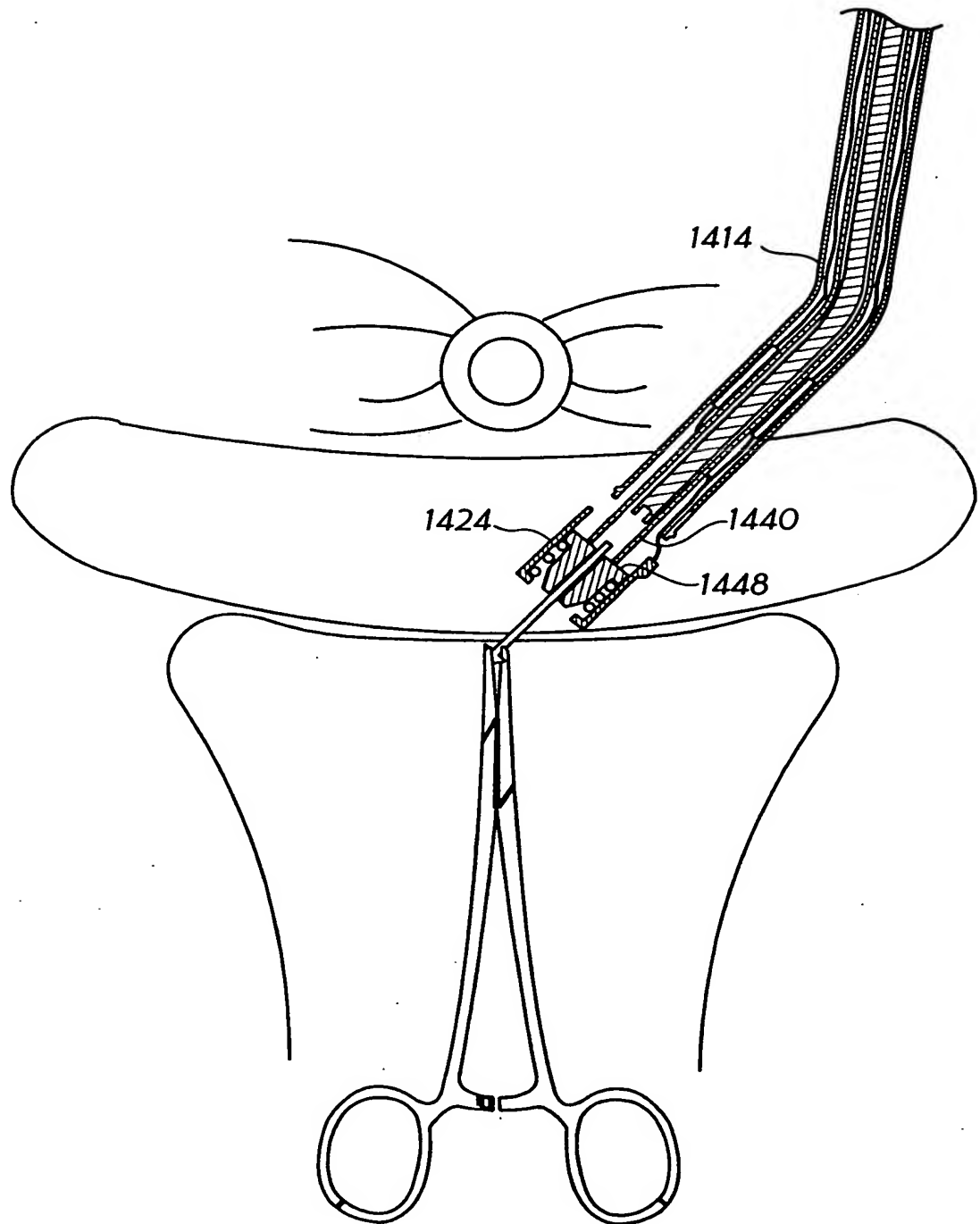


Fig. 72

56/76

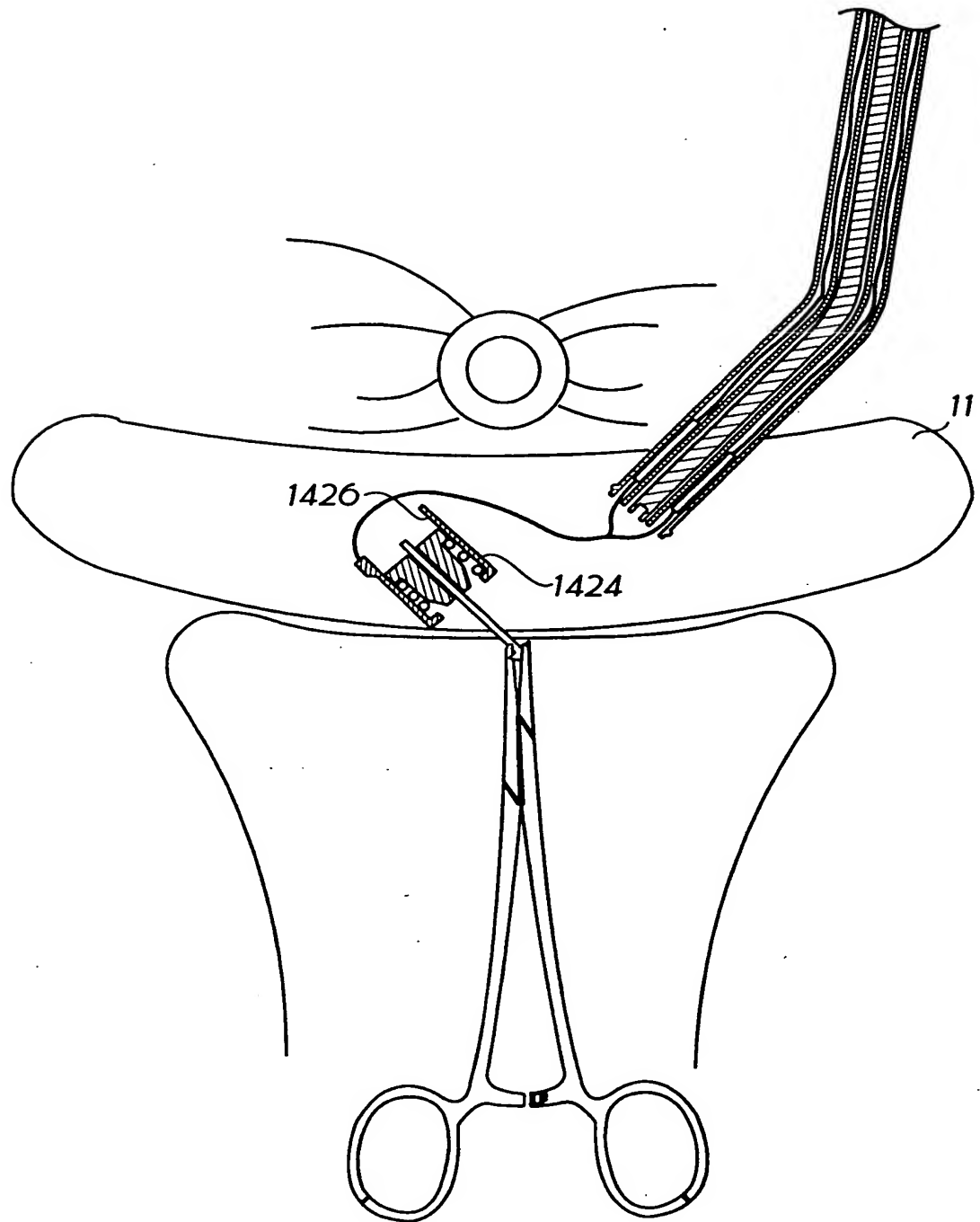


Fig. 73



57/76

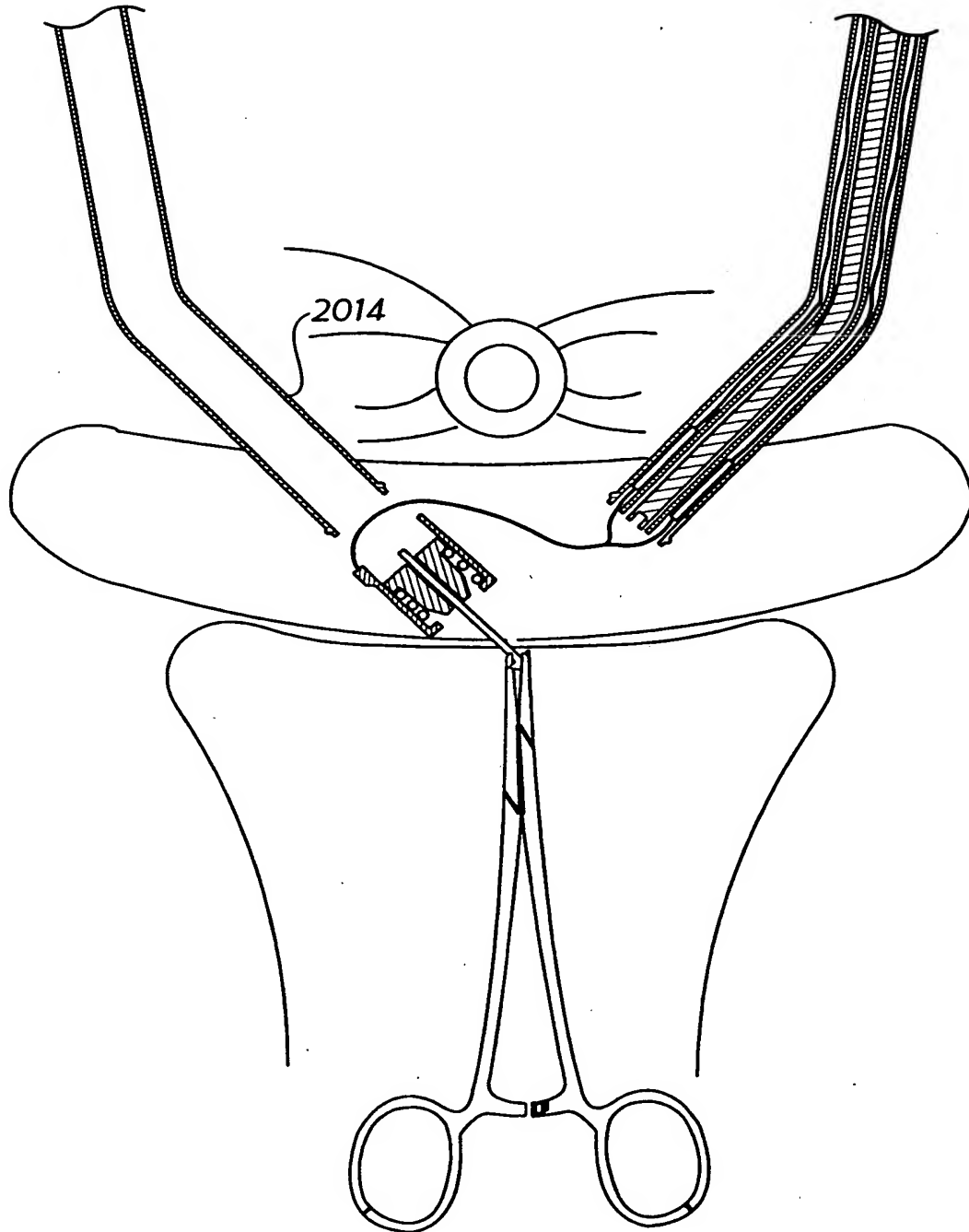


Fig. 74

58/76

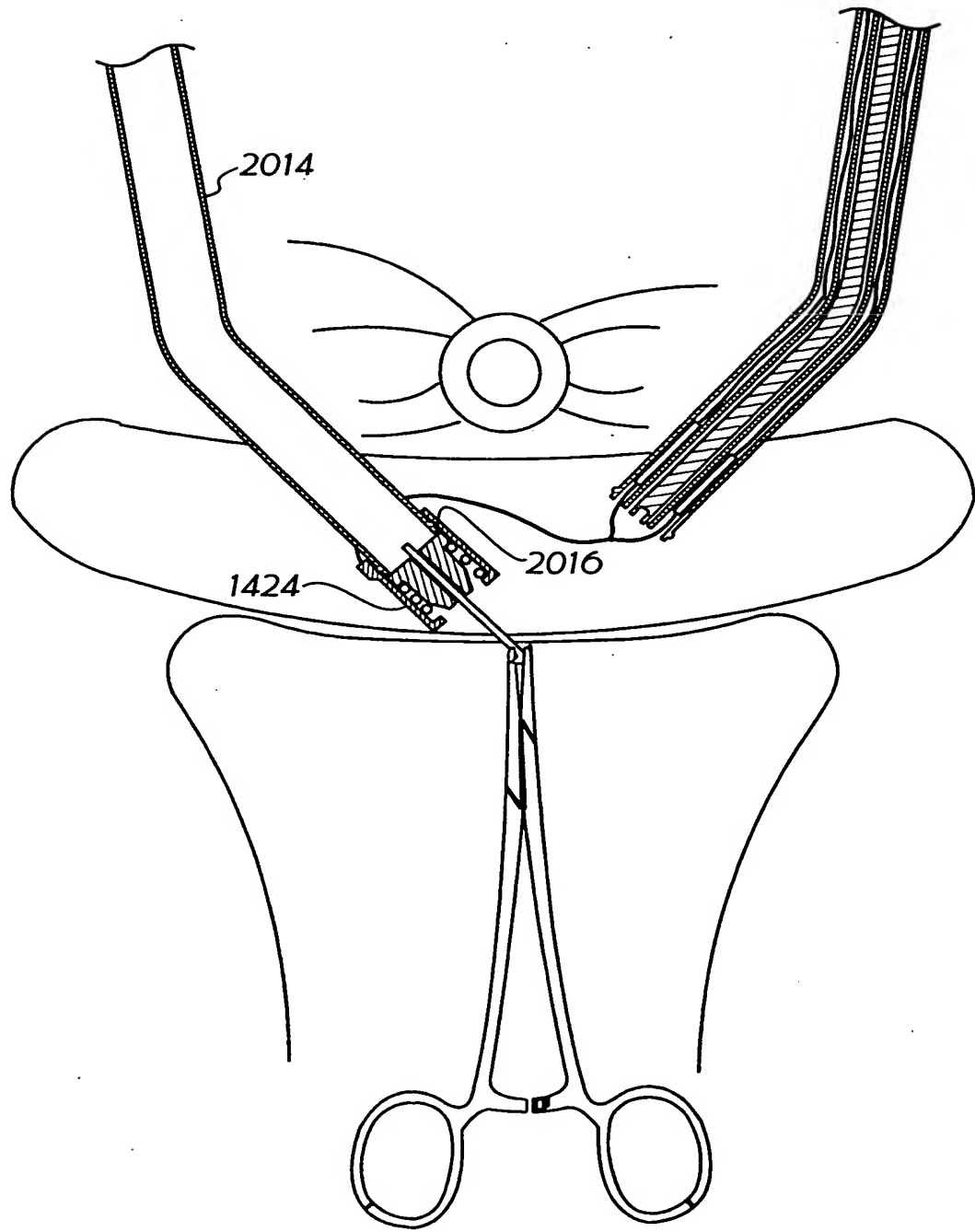


Fig. 75

59/76

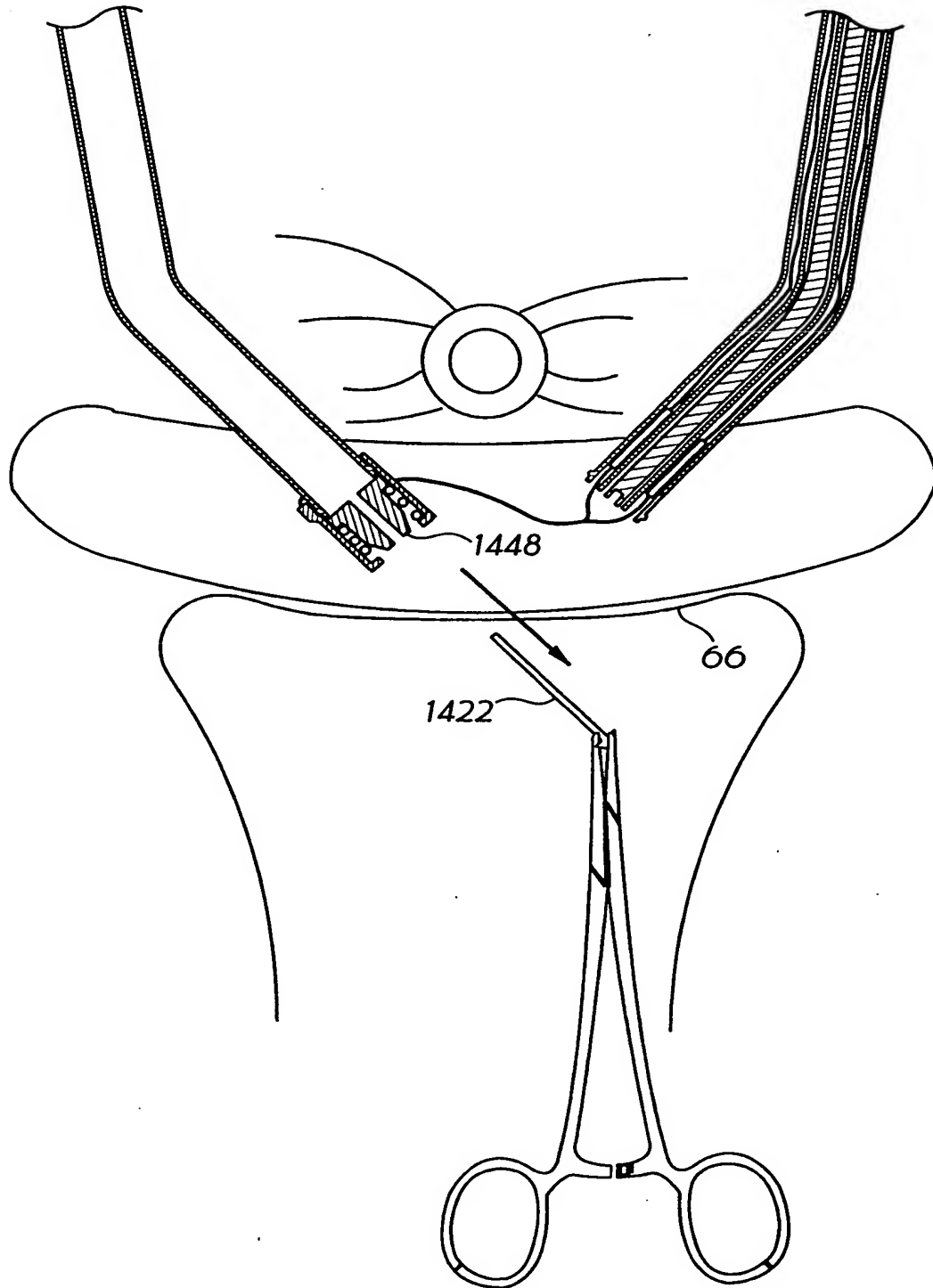


Fig. 76

60/76

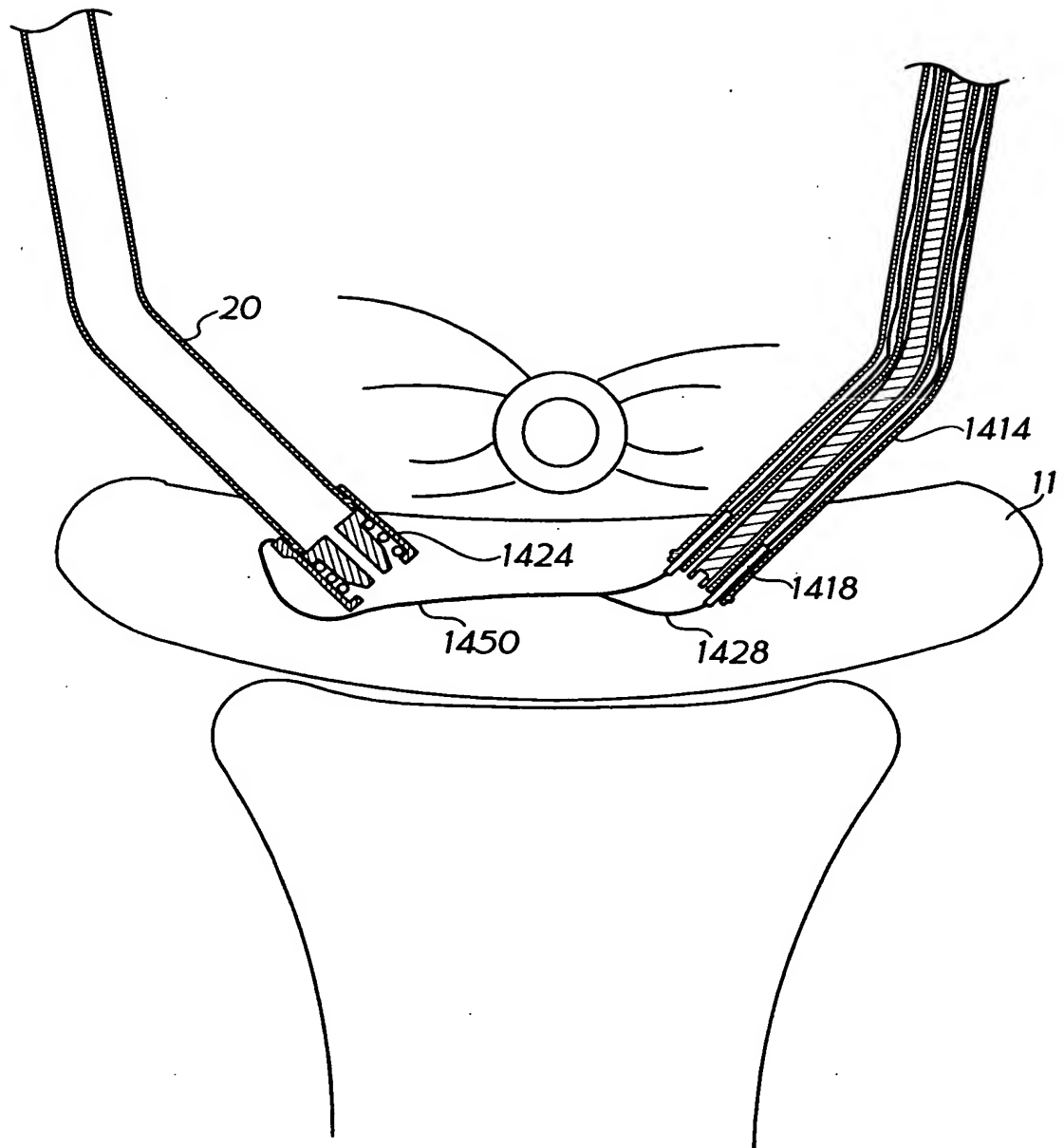


Fig. 77

61/76

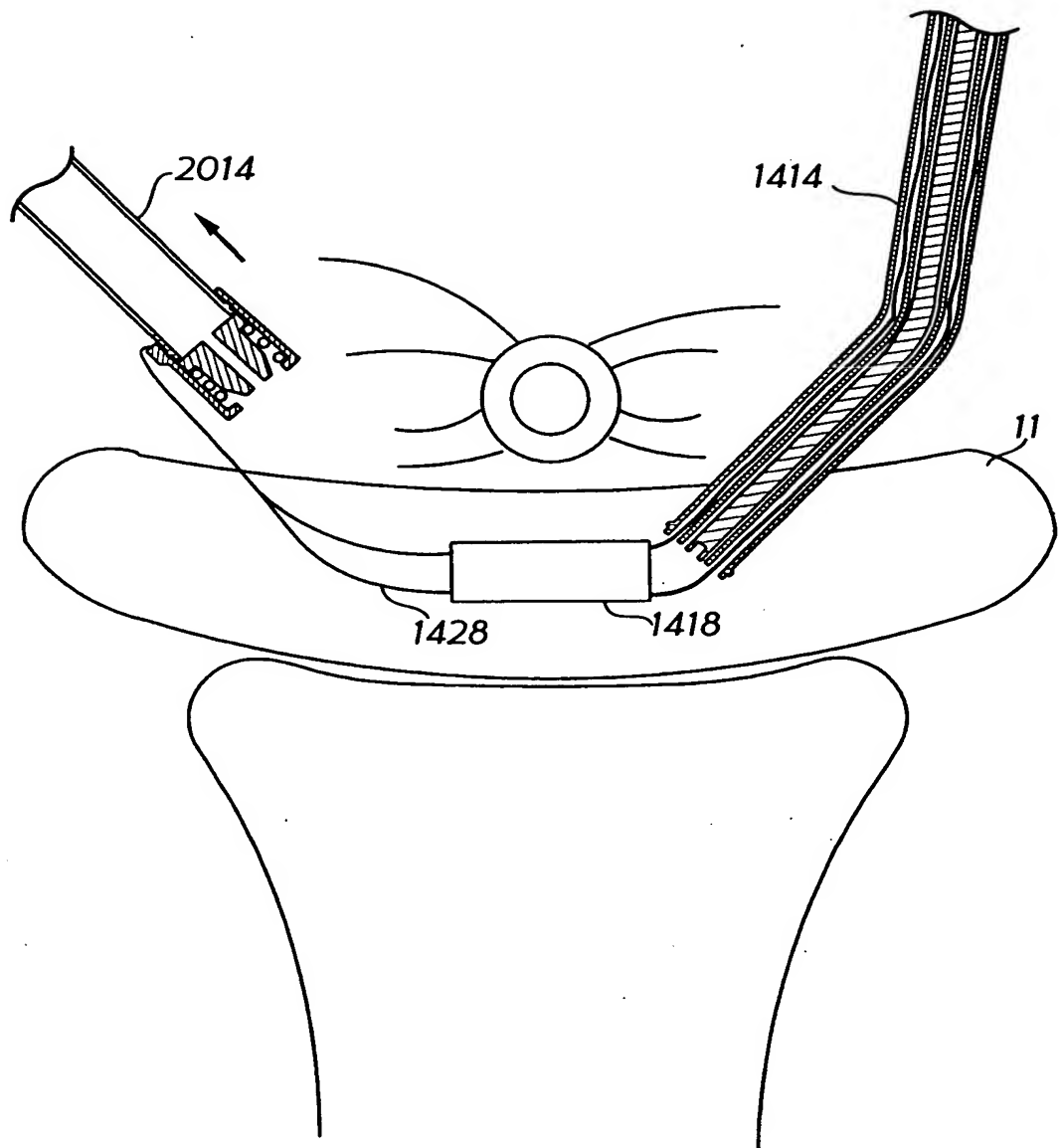


Fig. 78

62/76

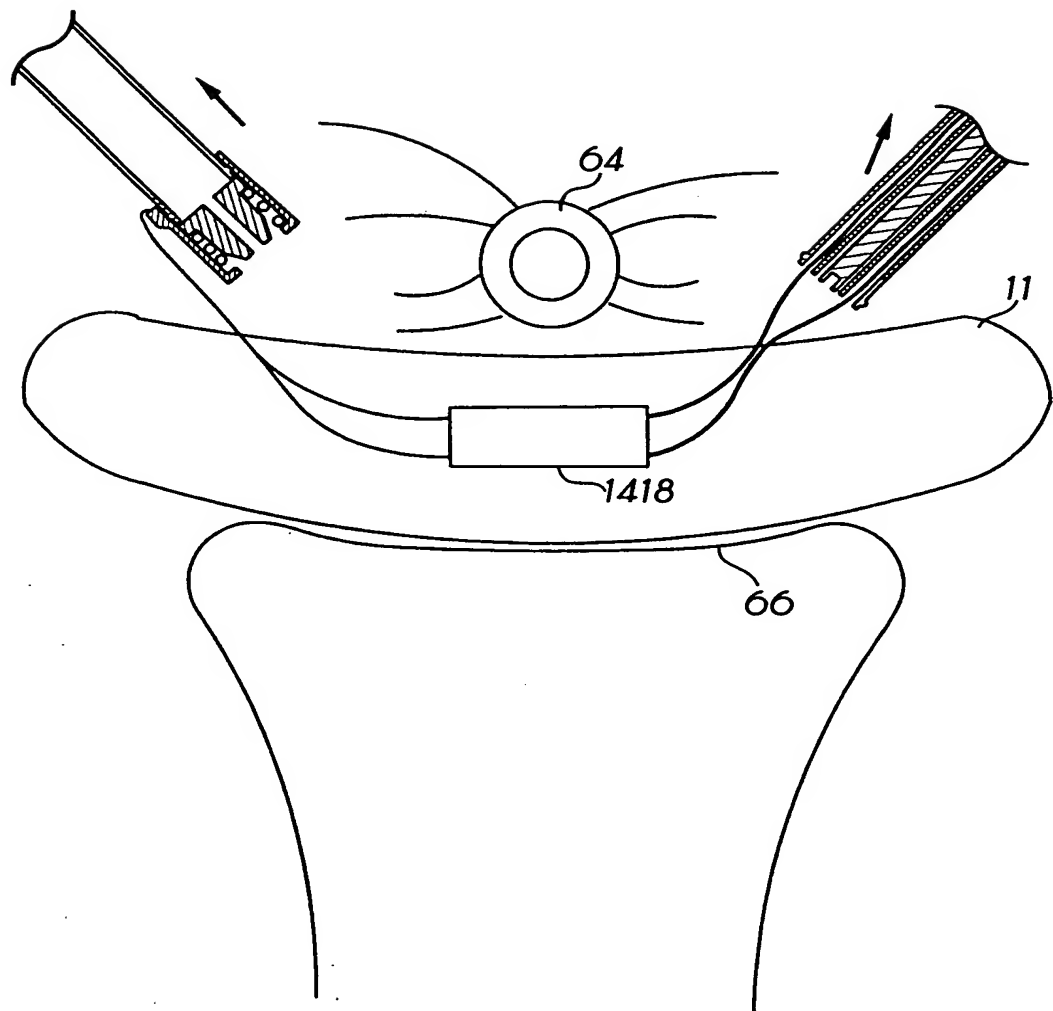


Fig. 79

63/76

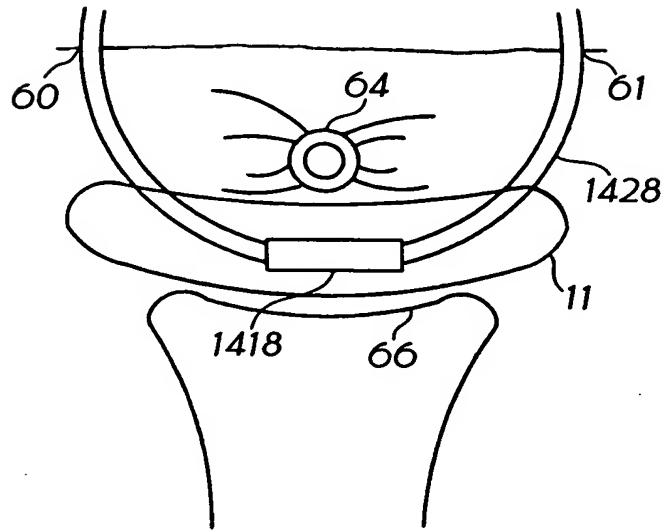


Fig. 80

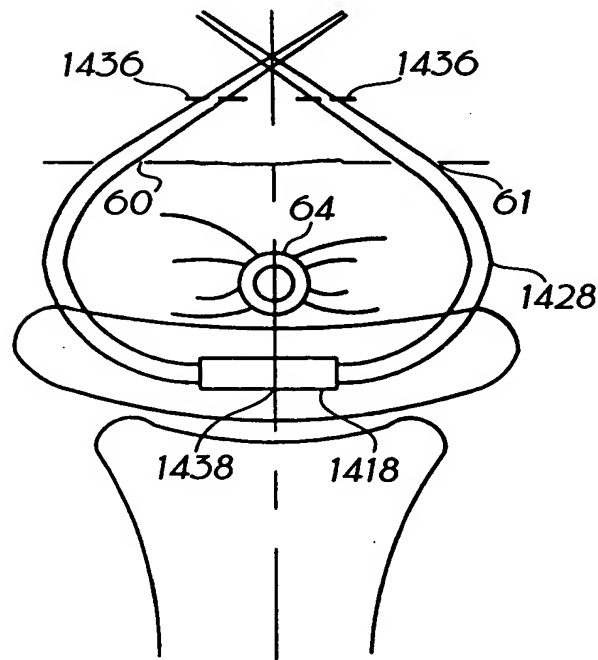


Fig. 81

64/76

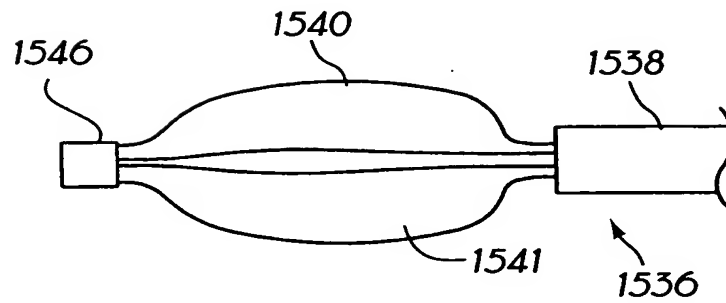


Fig. 82

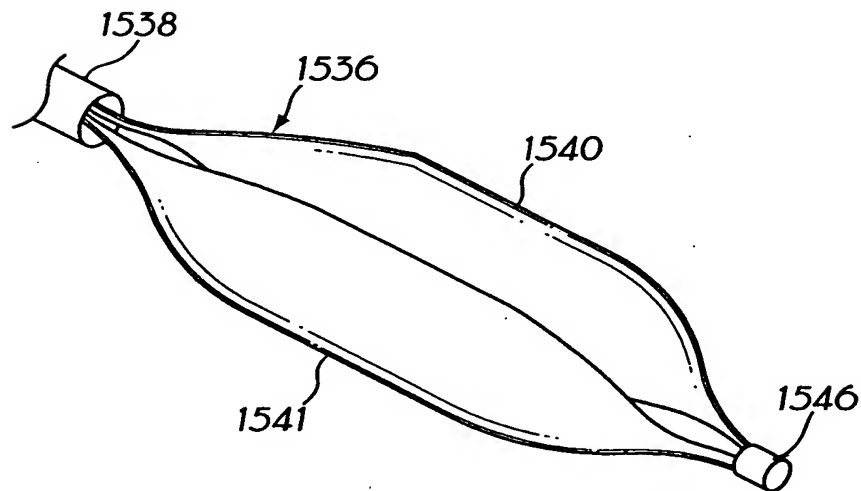


Fig. 83



65/76

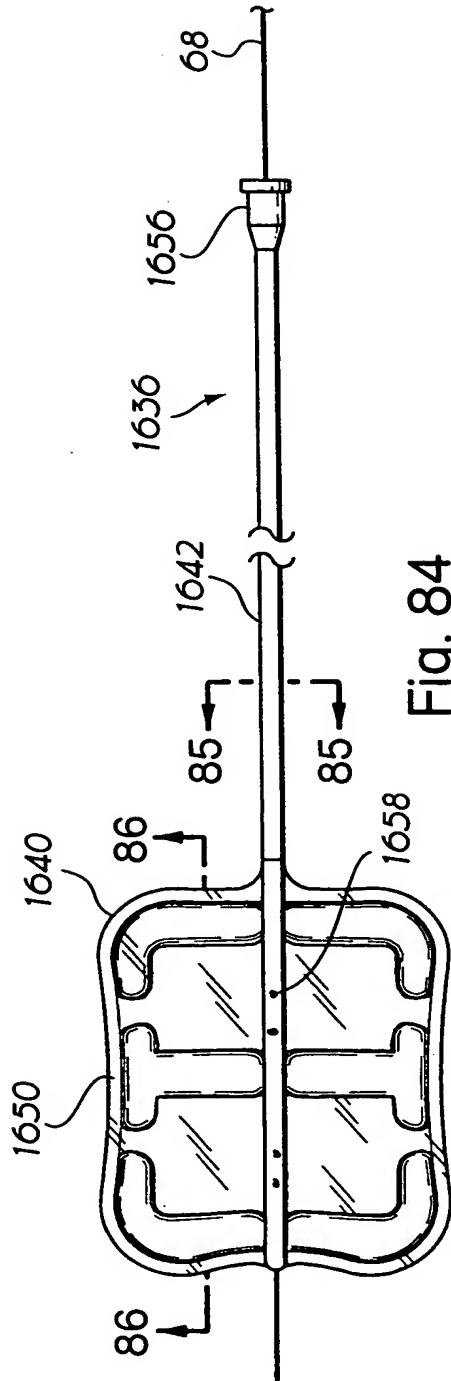


Fig. 84

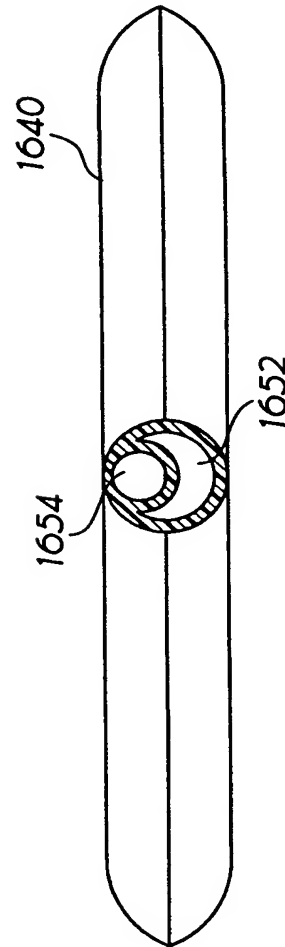


Fig. 85

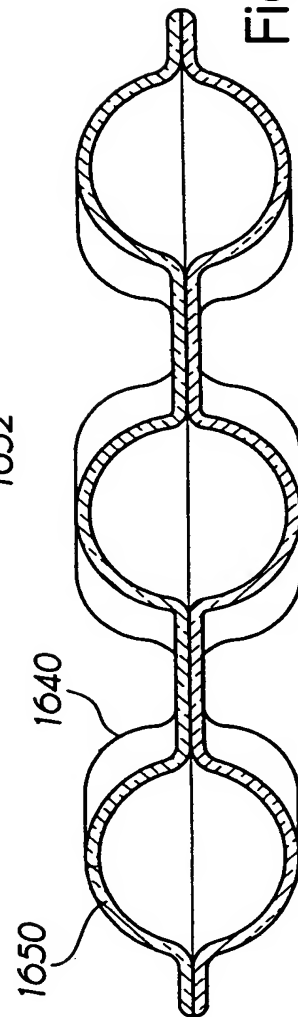


Fig. 86

66/76

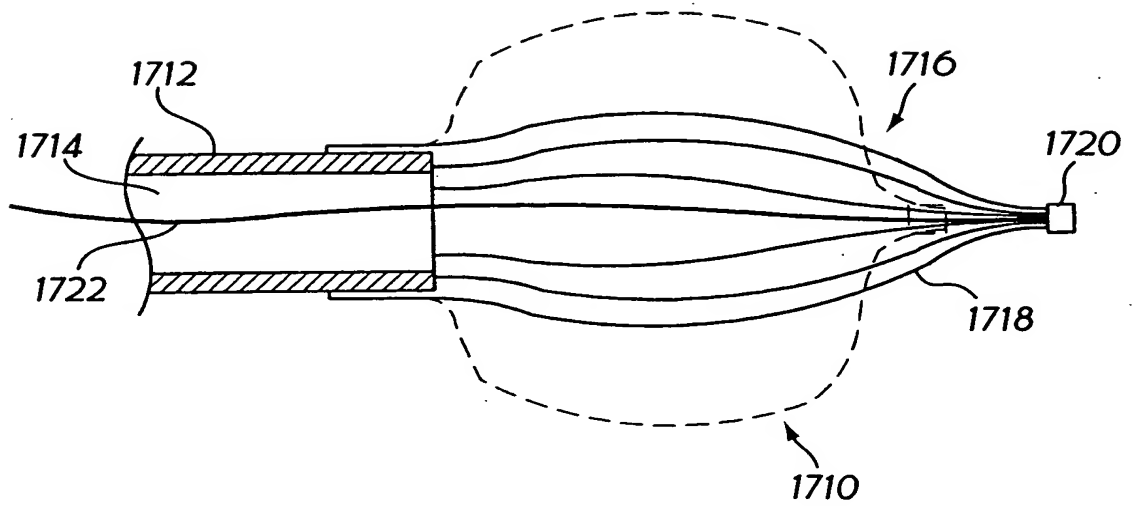


Fig. 87

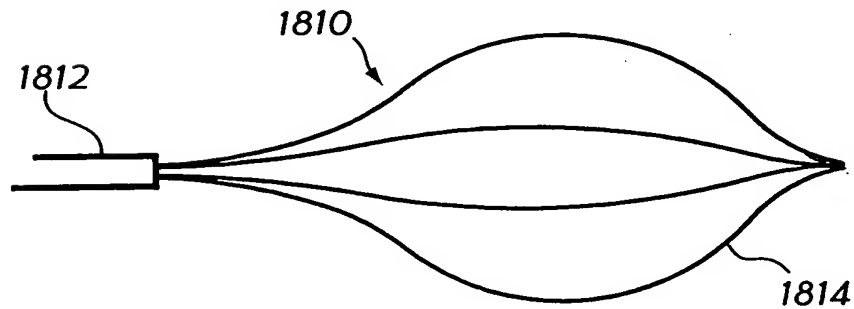


Fig. 88

67/76

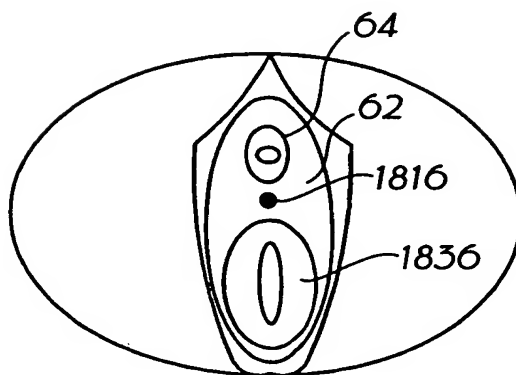


Fig. 89

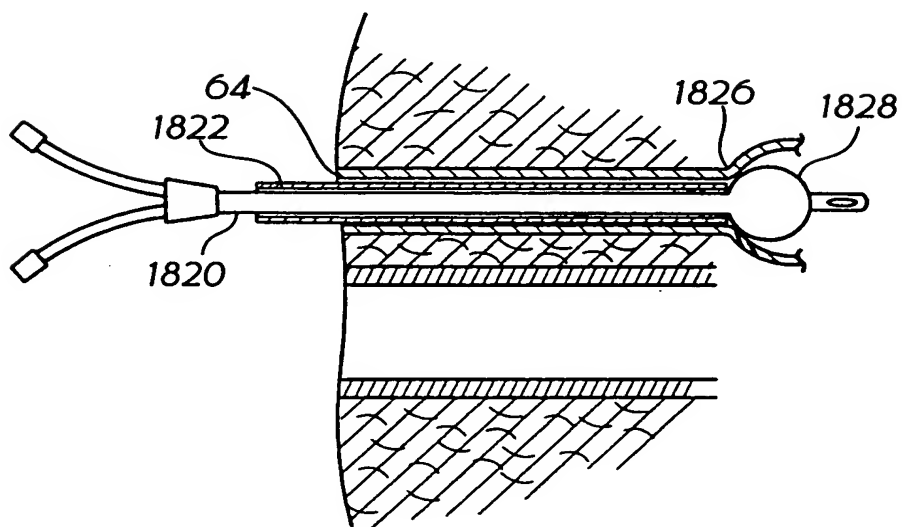


Fig. 90

68/76

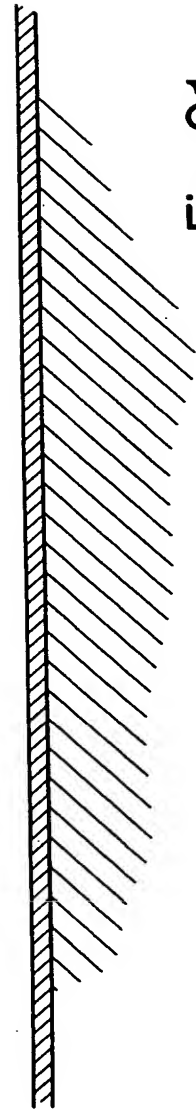
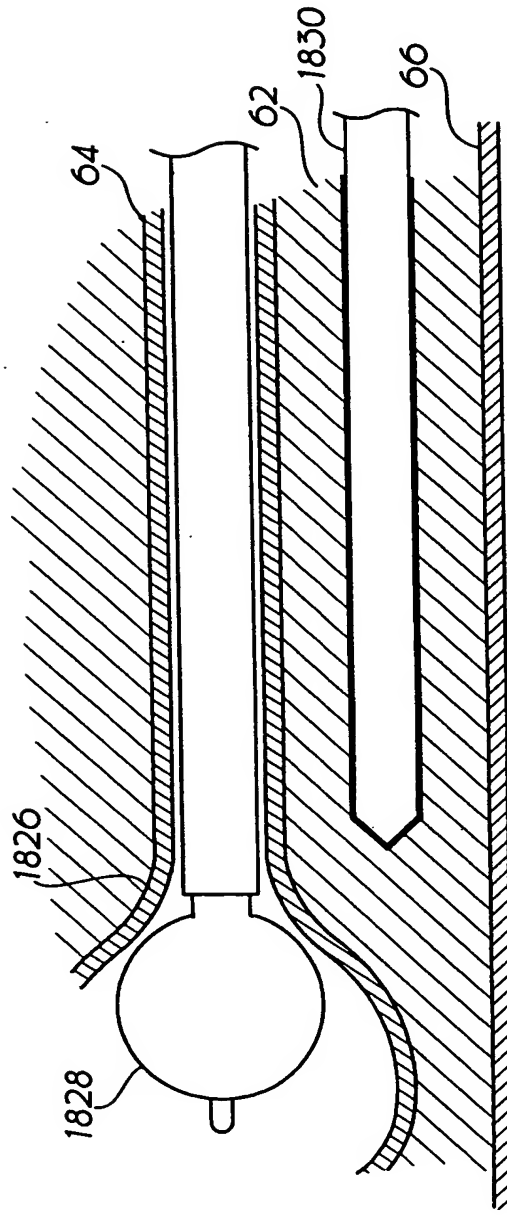


Fig. 91

69/76

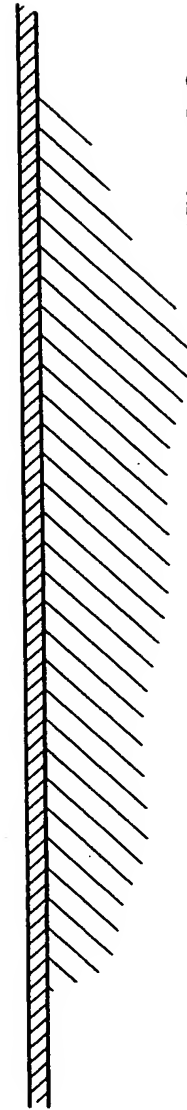
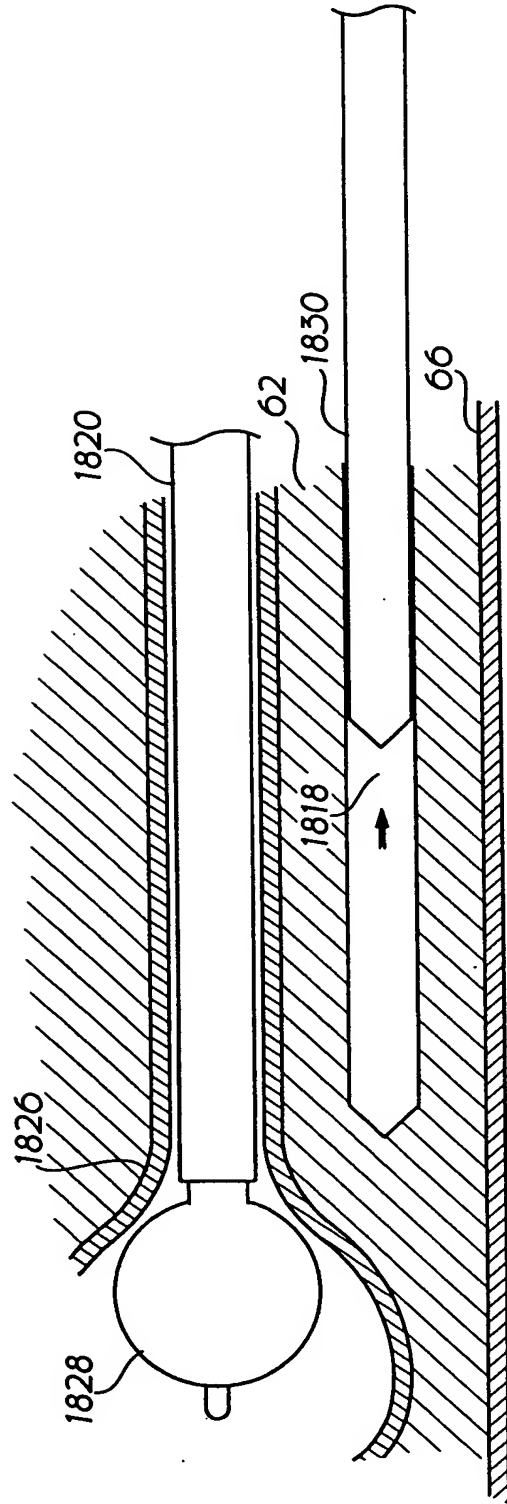


Fig. 92

70/76

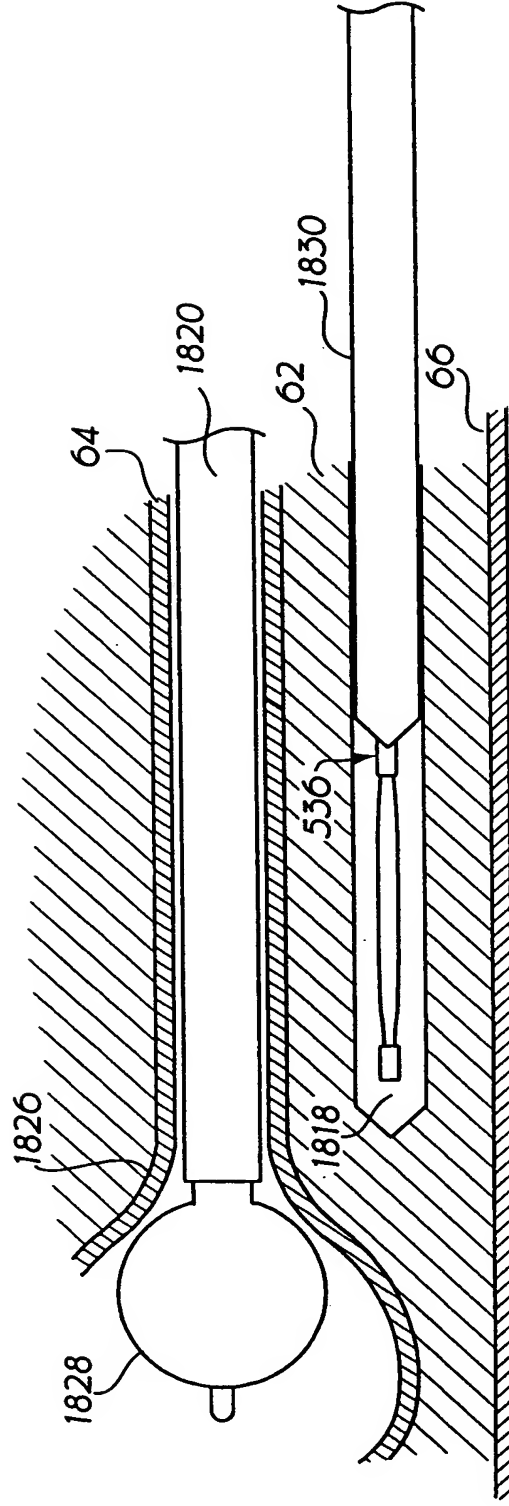


Fig. 93

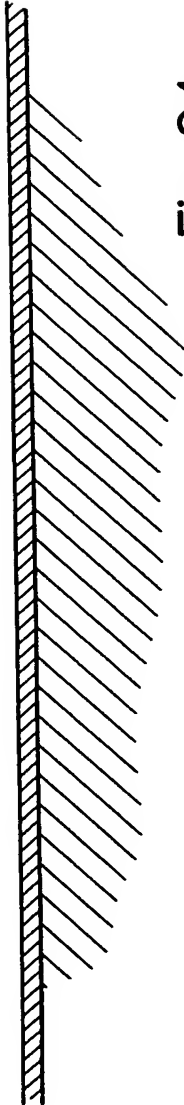
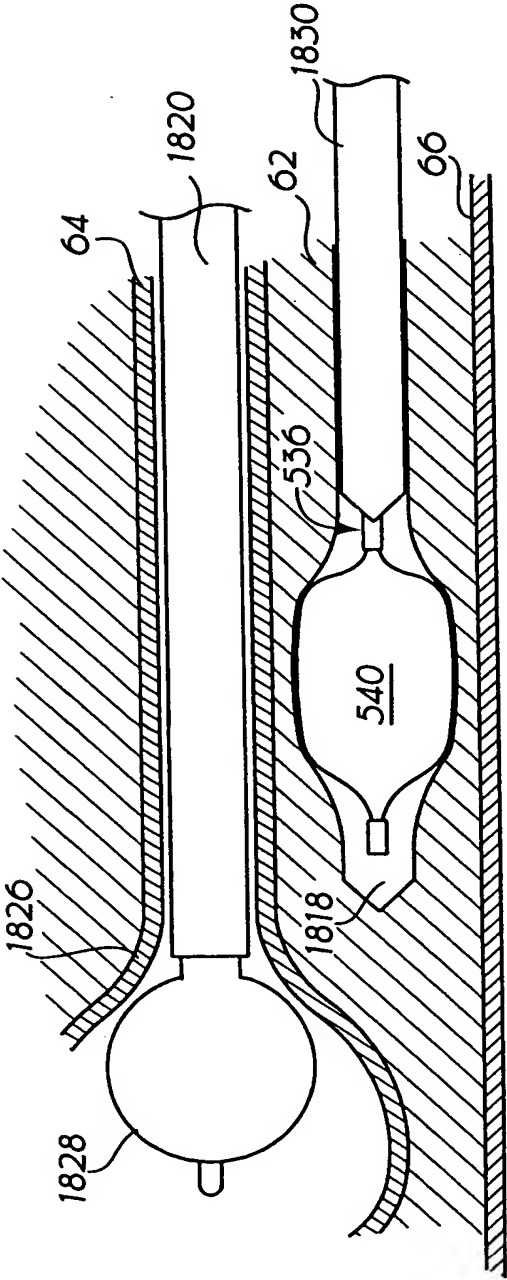


Fig. 94

72/76

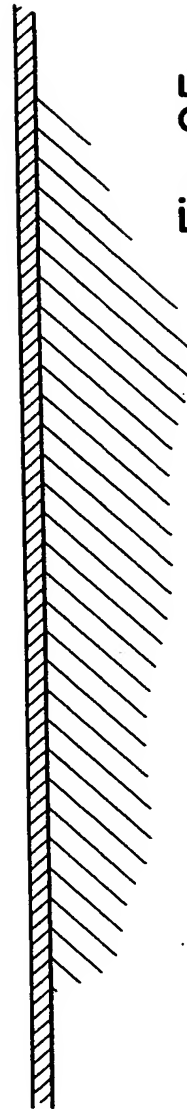
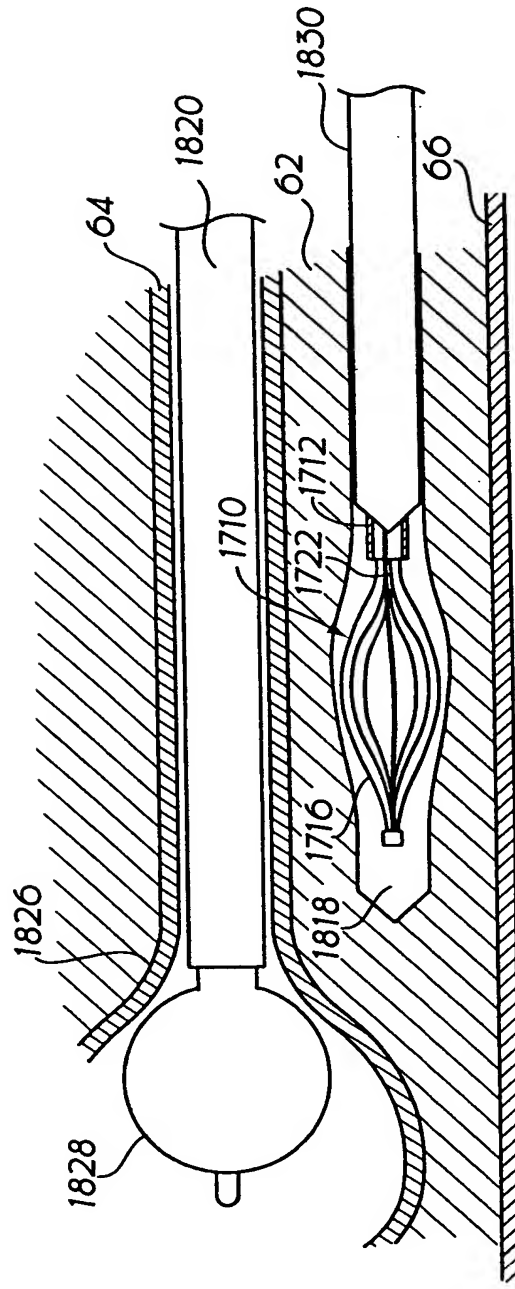


Fig. 95



73/76

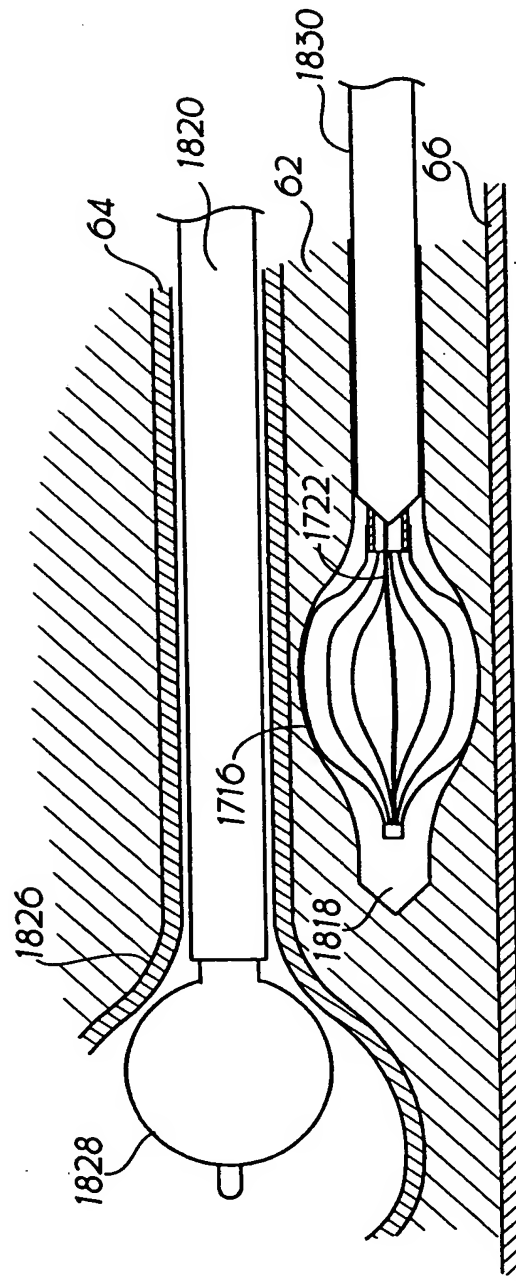


Fig. 96

74/76

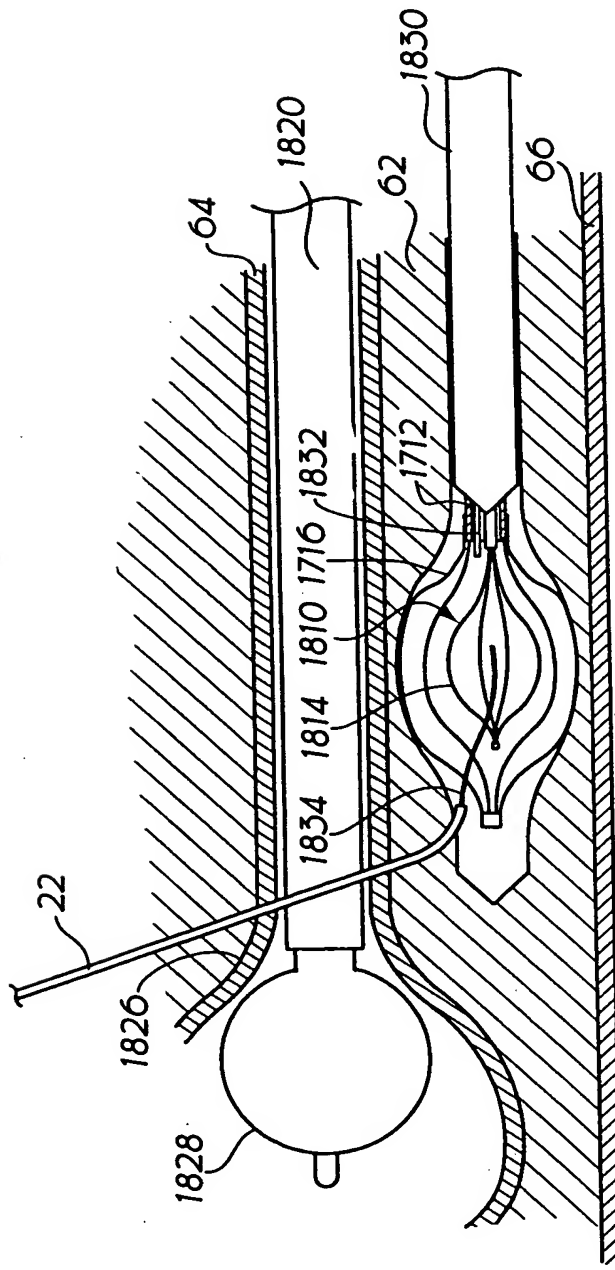


Fig. 97

75/76

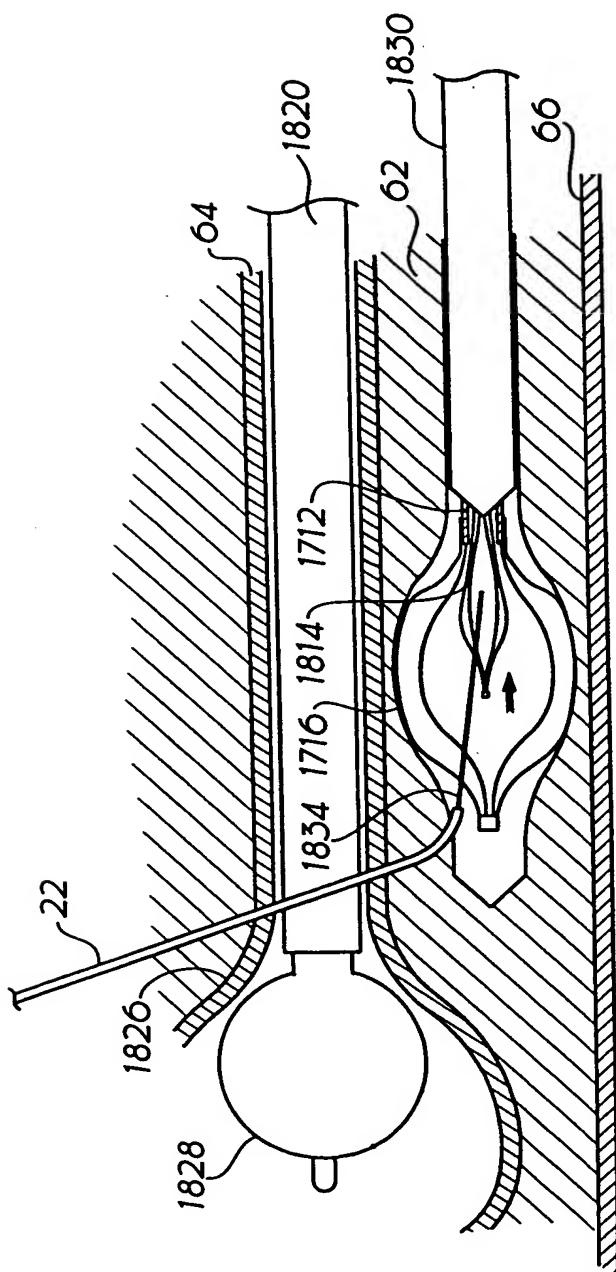


Fig. 98

76/76

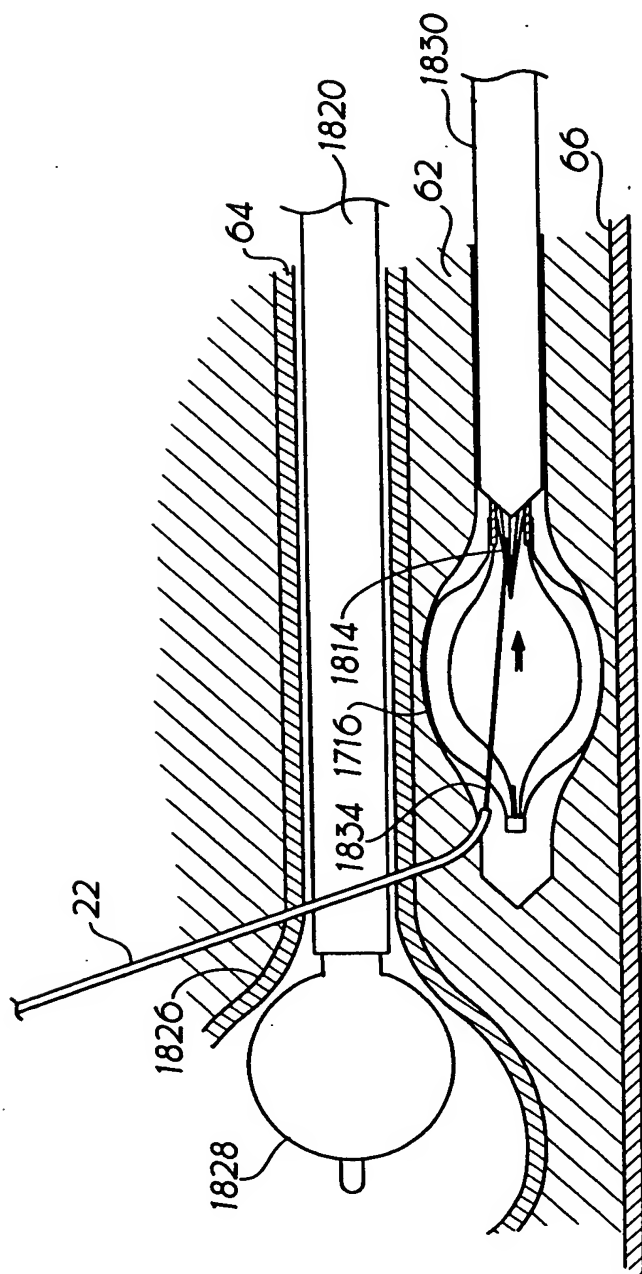


Fig. 99